

## تحولات پتروژنتیک در توالی‌های ماقماتیکی ژوراسیک نواحی حسین‌آباد - حاجی‌آباد در کمربند سنندج - سیرجان (جنوب ایران)

ایمان منصف<sup>\*</sup>، محمد رهگشای<sup>۱</sup> و هوبرت وايت چرج<sup>۲</sup>

<sup>۱</sup> دانشکده علوم زمین، دانشگاه شهید بهشتی، تهران، ایران

<sup>۲</sup> انسستیتو زمین‌شناسی، دانشگاه لویی پاستور، استراسبورگ، فرانسه

### چکیده

توالی‌های ماقماتیکی ژوراسیک در جنوبی‌ترین بخش کمربند سنندج - سیرجان، تحولات پتروژنتیکی منحصر به‌فردی را در طی تکامل ترکیبی خود نشان می‌دهند. این توالی‌های ماقماتیکی در منطقه حسین‌آباد به سن ژوراسیک زیرین تا میانی و در منطقه حاجی‌آباد به سن ژوراسیک بالایی تا کرتاسه زیرین رخمنون پیدا کرده‌اند. ماقمای مادر توالی اول در منطقه حسین‌آباد، با سرشت تولیت جزایر قوسی (IAT)، از یک منشأ گوشه‌ای اسپینل لرزولیت با ترکیب گوشته اولیه (PM) حاصل شده‌اند. این منشأ گوشه‌ای تحت تأثیر سیالات و رسوبات حاصل از ورقه فروراش قرار گرفته است. ماقمای مادر توالی دوم در منطقه حاجی‌آباد، با سرشت تولیت جزایر قوسی تا تحولی، از یک منشأ گوشه‌ای گارنت - اسپینل لرزولیت با ترکیب مورب غنی شده (E-MORB) حاصل شده است. این تغییرات ترکیبی می‌تواند با اهمیت تأثیر رسوبات و سیالات، در اعماق بیشتر ورقه فروراش، به درون گوه گوشه‌ای مرتبط باشد. این توالی‌های ماقماتیکی می‌توانند در نتیجه فروراش لیتوسفر اقیانوسی نئوتیس به زیر پهنه سنندج - سیرجان، از زمان ژوراسیک زیرین تا کرتاسه زیرین، در محیط جزایر کمانی تشکیل یافته باشند.

**واژه‌های کلیدی:** توالی‌های ماقماتیک، جزایر کمانی، حاجی‌آباد - حسین‌آباد، کمربند سنندج - سیرجان، نئوتیس

### مقدمه

اقیانوس جدیدی با عنوان نئوتیس در جنوب، در بین دو بلوک عربی و ایران مرکزی، شروع به باز شدن نمود. رسوبات تریاس بالا- ژوراسیک، که در امتداد حاشیه فعال ایران مرکزی و حاشیه غیر فعال قاره‌ای پلیت عربی یا زاگرس تهنشست شده‌اند، اولین شواهد رسوبی یک محیط اقیانوسی حقیقی هستند (Berberian and

در اواخر دوره پرمین، به دنبال حرکت رو به شمال بلوک ایران مرکزی و برخورد آن با صفحه اوراسیا، اقیانوس پالئوتیس در شمال شروع به بسته شدن نمود (Berberian and King, 1981). تقریباً در طول همان زمان، در پی بسته شدن اقیانوس پالئوتیس در شمال،

\* iman\_monsef@yahoo.com

حضور توفها و جریان‌های گدازه آتشفشنایی به سن ژوراسیک زیرین - کرتاسه زیرین در نواحی سیرجان، حاجی‌آباد، اسفندقه، ارزوییه، خبر، باغات، بروجرد و دهبید، حضور توده‌های نفوذی گرانیتوییدی به سن اواخر تریاس تا ژوراسیک و توفها و جریان‌های گدازه‌ای به سن کرتاسه در مناطق چالقان، هوشک و دشتور مشخص می‌شود (Dimitrijevic, 1973; Berberian and Nogol, 1974; Sabzehi, 1974, 1994; Taraz, 1974; Alric and Virlogeux, 1977) با توجه به اینکه مقایسه تحولات پتروژنتیکی سنگ‌های ماقمایی ژوراسیک زیرین - میانی با سنگ‌های ژوراسیک بالایی - کرتاسه زیرین تاکنون در پهنه سندج - سیرجان جنوبی مورد مطالعه سیستماتیک قرار نگرفته، نتایج این تحقیق می‌تواند در شناخت الگوی ژئودینامیک اقیانوس نئوتیس در زمان ژوراسیک و اولین نشانه‌های شروع فرورانش آن در زیر پهنه سندج - سیرجان دارای اهمیت باشد. اهداف این مطالعه شامل بررسی‌های صحرایی و پتروگرافی برای سنگ‌شناسی این توالی‌های ماقمایی، استفاده از ژئوشیمی عناصر اصلی، کمیاب و نادر خاکی در تعیین محیط ژنتیکی این سنگ‌ها، به کارگیری شیمی کانی‌ها در تعیین نوع کانی‌های اصلی و محیط تشکیل‌دهنده این سنگ‌ها و در نهایت، پی بردن به تحولات پتروژنتیکی این توالی‌های ماقمایی در طی زمان ژوراسیک تا کرتاسه است.

### روش انجام پژوهش

برای تعیین میزان اکسید عناصر اصلی و همینطور عناصر کمیاب و نادر خاکی، از نمونه‌های سنگی که کمتر دگرسانی نشان می‌دادند، استفاده شده است. نمونه‌های انتخاب شده توسط سنگ شکن آگات پودر شده و آنالیز ژئوشیمیایی شده‌اند. آنالیز عناصر اصلی و برخی از عناصر فرعی توسط

King, 1981). در طی زمان تریاس بالایی - ژوراسیک زیرین فرورانش اقیانوس نئوتیس به زیر بلوک ایران مرکزی، در امتداد حاشیه فعال آن، شروع شده است (Berberian and King, 1981; Davoudzadeh *et al.*, 1981). وجود سنگ‌های ماقمایی در امتداد پهنه سندج - سیرجان جنوبی به سن ژوراسیک زیرین - میانی در منطقه حسین‌آباد و ژوراسیک بالایی - کرتاسه زیرین در ناحیه حاجی‌آباد، شواهدی از فرورانش اقیانوس نئوتیس در این پهنه در دوران مژوزوییک هستند. زمان بسته شدن اقیانوس نئوتیس مورد بحث‌های زیادی بوده، نظریه‌های متعددی درباره آن ارائه شده است، برخی محققان بسته شدن نهایی آن را در طی کرتاسه پایانی - پالئوسن می‌دانند (Stocklin, 1974, 1977; Berberian and King, 1981) طبق نظر برخی دیگر از زمین‌شناسان، بسته شدن نئوتیس در زمان ائوسن (Braud, 1987; Agard *et al.*, 2005) و یا حتی میوسن، صورت گرفته است (Dewey *et al.*, 1973; Forster, 1976; Sengor, 1979; Berberian and Berberian, 1981; Jackson *et al.*, 1995; Allen *et al.*, 2004). پهنه سندج - سیرجان توسط گسل اصلی و معکوس زاگرس از کمرندهای چین‌خورده زاگرس جدا می‌شود و فرآیندهای مختلف ماقمایی و دگرگونی را در طی دوران‌های مختلف متحمل شده است (Agard *et al.*, 2005). این پهنه در دوران پالئوزویک به صورت یک کمرنده متحرک و باریک درون کراتونی عمل نموده، در حالی که در دوران مژوزویک به صورت یک حاشیه فعال عمل کرده است. وجود سنگ‌های ولکانیکی و توده‌های نفوذی نشان‌دهنده فرورانش پوسته اقیانوسی نئوتیس به زیر این پهنه در امتداد حاشیه فعال آن است. وجود ماقماییسم نوع کمانی در پهنه سندج - سیرجان (از تریاس بالایی تا کرتاسه) با حضور توفها و جریان‌های گدازه‌ای به سن تریاس بالایی در نواحی آباده و اقلید،

انیستیتو زمین‌شناسی دانشگاه استراسبورگ  
فرانسه صورت پذیرفته است (جدول ۱).

دستگاه ICP-AES و آنالیزهای عناصر کمیاب و  
نادر خاکی با استفاده از دستگاه ICP-MS در

جدول ۱- آنالیز ژئوشیمیایی کل سنگ نمونه‌های ژوراسیک زیرین - میانی حسین‌آباد (نمونه‌های با پسوند H07) و ژوراسیک بالایی - کرتاسه زیرین حاجی‌آباد (نمونه‌های با پسوند HG07)

Rock Name	Hbl	Qtz	Qtz	Andesitic		Andesitic		Andesite		Dacite		Andesit	
	Gabbro	Diorite	Diorite	Basalt	basalt	basalt	Andesite	Andesite	Andesite	Dacite	Dacite	Dacite ic basalt	
Sample No.	H07-6	H07-7	H07-1	H07-14	HG07-14	HG07-6	HG07-11	HG07-1	HG07-13	HG07-10	HG07-7	HG07-12	HG07-6
(wt%)													
SiO <sub>2</sub>	45.10	50.30	54.20	45.10	50.30	50.30	48.50	50.50	51.00	61.20	61.40	64.30	50.30
Al <sub>2</sub> O <sub>3</sub>	16.65	18.90	16.80	17.90	13.40	12.20	12.60	14.70	13.40	15.50	15.20	10.90	12.20
FeO <sup>total</sup>	11.55	7.96	8.65	10.80	9.00	7.80	12.20	11.90	10.80	6.20	5.80	4.40	7.80
CaO	12.70	10.45	8.41	9.40	11.50	15.7	11.50	6.80	10.80	3.40	3.80	5.70	15.7
MgO	8.58	5.88	5.07	6.96	3.90	1.30	2.80	6.70	3.00	0.80	0.70	3.50	1.30
Na <sub>2</sub> O	1.14	2.07	2.34	3.04	5.81	6.42	5.60	5.00	6.14	8.62	8.65	3.44	6.42
K <sub>2</sub> O	0.39	0.68	0.56	0.36	0.39	0.19	0.52	0.24	0.42	0.34	0.24	0.68	0.19
TiO <sub>2</sub>	0.71	0.51	0.55	0.68	1.19	0.79	1.27	1.90	1.27	1.01	0.99	0.53	0.79
MnO	0.21	0.15	0.16	0.17	0.118	0.377	0.12	0.13	0.10	0.06	0.06	0.09	0.377
P <sub>2</sub> O <sub>5</sub>	0.01	0.02	0.03	0.12	0.30	0.10	0.30	0.40	0.30	0.40	0.30	0.10	0.10
LOI	2.87	2.78	2.99	4.71	4.44	2.83	2.88	2.25	2.27	2.03	2.31	5.45	2.83
Total	100.00	99.70	99.80	99.30	100.35	98.03	98.42	100.56	99.51	99.64	99.60	99.08	98.03
(ppm)													
Ba	78.1	172	160	138	50	40	81	36	58	31	23	77	40
Ce	4	5.8	6.7	10.4	19.5	26.1	20.4	33.3	21.0	25.4	29.4	33.1	26.1
Co	47.3	41.2	36	36.4	27.5	14.0	22.9	32.5	26.3	6.8	4.5	13.8	14.0
Cs	0.12	0.56	0.49	0.93	0.8	-	0.9	-	0.7	-	-	2.1	-
Cu	108	25	58	110	35.5	27.1	41.3	38.9	29.0	20.0	21.6	30.6	27.1
Dy	2.64	2.51	2.76	3.54	3.75	3.28	4.45	6.36	4.11	5.25	5.59	2.89	3.28
Er	1.61	1.65	1.79	2.29	2.13	1.86	2.33	3.67	2.25	3.25	3.32	1.61	1.86
Eu	0.54	0.56	0.56	0.81	0.93	0.96	1.36	1.44	1.09	0.86	1.00	0.76	0.96
Gd	1.77	1.74	2	2.72	2.9	2.8	3.5	4.5	3.2	3.4	3.7	2.7	2.8
Hf	0.4	1	1.1	1.2	2.07	1.92	1.78	4.74	2.21	5.53	5.47	4.10	1.92
Ho	0.56	0.51	0.61	0.82	0.833	0.701	0.921	1.39	0.883	1.19	1.23	0.605	0.701
La	2	2.5	3	4.3	10.2	13.7	10.6	13.7	10.5	11.9	13.9	17.3	13.7
Lu	0.21	0.24	0.28	0.35	0.294	0.287	0.322	0.531	0.310	0.521	0.529	0.259	0.287
Nb	0.3	0.5	0.7	0.7	7	4	7	0.9	7	10	10	5	4
Nd	3.1	4.2	4.6	7.2	13.2	16.3	15.3	25.7	14.5	15.6	16.9	16.9	16.3
Ni	56	35	51	26	71	51	81	71	71	30	10	119	51
Pb	<5	<5	<5	<5	16	27	16	17	15	26	8	12	27
Pr	0.62	0.87	0.94	1.46	2.87	3.44	3.05	4.75	3.06	3.32	3.83	4.06	3.44
Rb	8	15.8	12.9	8.7	10	3	20	1	11	4	3	23	3
Sm	1.24	1.28	1.52	2.21	3	3	4	5	3	3	4	3	3
Sr	160.5	151.5	142.5	244	327	189	324	218	343	72	70	176	189
Ta	0.1	0.2	0.2	0.1	0.53	0.26	0.45	0.60	0.55	0.76	0.76	0.49	0.26
Tb	0.34	0.33	0.34	0.53	0.527	0.483	0.638	0.849	0.587	0.672	0.740	0.435	0.483
Th	0.27	0.74	0.63	0.94	0.6	1.1	0.7	2.0	0.8	6.4	6.5	6.6	1.1
Tm	0.2	0.22	0.27	0.33	0.345	0.300	0.366	0.616	0.363	0.574	0.589	0.276	0.300
U	0.07	0.21	0.2	0.27	0.18	0.27	0.24	0.50	0.23	1.60	1.57	1.33	0.27
V	381	214	224	342	140	108	245	232	175	61	57	87	108
Y	13	13.2	15.2	19.6	24.0	21.0	25.0	35.9	24.4	31.3	33.1	16.7	21.0
Yb	1.43	1.65	1.88	2.24	2.07	1.88	2.19	3.62	2.12	3.59	3.53	1.71	1.88
Zn	88	64	78	93	87	53	619	70	71	43	41	66	53
Zr	8	29	35	34	90	77	78	208	95	234	232	162	77
Ti	4255	3056	3296	4075	7161	4714	7604	11388	7620	6054	5911	3161	4714
K	3237	5645	4648	2988	3208	1577	4356	1992	3486	2814	1971	5620	1577
P	43.6	87.2	130.9	523.6	1340.8	541.8	1457	1570.9	1287.2	1562.5	1386.5	488.4	541.8

ژئوشیمی دانشگاه لوزان سوییس استفاده شده است. شرایط آنالیزی شامل ولتاژ ۱۲ kV و جریان ۲۰ nA برای کانی کلینوپیروکسن و آمفیبول

به منظور تعیین ترکیب شیمی کانی‌های موجود در سنگ‌های ولکانیکی منطقه، از دستگاه الکترون میکروپرور (JEOL 8200) در مرکز کانی‌شناسی و

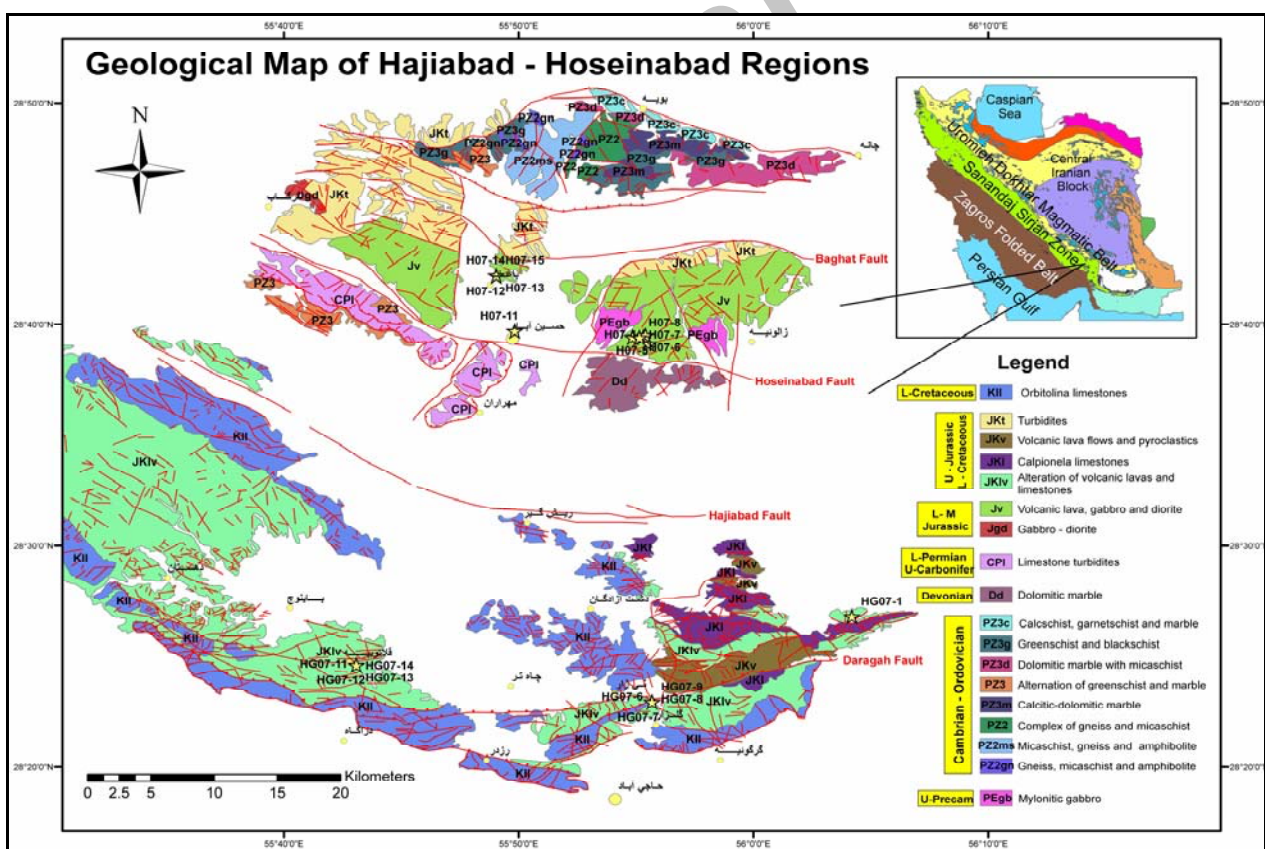
تغییر اساسی روندها توسط عملکرد گسل‌های دهسرد و گوشک با راستای شمال شرقی - جنوب غربی در شرق منطقه (به سمت دهسرد) و گسل‌های باغات، حسین‌آباد، حاجی‌آباد و درآگاه با راستای شرقی - غربی در درون محدوده حسین‌آباد - حاجی‌آباد کنترل می‌شوند.

در منطقه حسین‌آباد توالی سنگ‌های ماقمایی با سن ژوراسیک زیرین - میانی در بین طول‌های جغرافیایی  $40^{\circ} 55'$  تا  $40^{\circ} 00'$  شرقی و عرض‌های جغرافیایی  $28^{\circ} 45'$  تا  $28^{\circ} 28'$  شمالی و در منطقه حاجی‌آباد با سن ژوراسیک بالایی - کرتاسه زیرین در بین طول‌های جغرافیایی  $30^{\circ} 55'$  تا  $30^{\circ} 05'$  شرقی و عرض‌های جغرافیایی  $28^{\circ} 20'$  تا  $28^{\circ} 30'$  شمالی رخنمون پیدا کرده‌اند (شکل ۱).

و  $10\text{nA}$  برای بلورهای پلازیوکلاز با زمان‌های شمارش ۳۰ ثانیه در پیک‌های (جدول‌های شماره ۲، ۳ و ۴).

### زمین‌شناسی منطقه

توالی سنگ‌های مناطق مورد مطالعه، با روند شرقی - غربی، وابسته به حوضه رسوی - ماقمایی گسترده‌ای است که در پهنه ساختاری سندنج - سیرجان جنوبی رخنمون پیدا کرده‌اند. روند عمومی شمال غربی - جنوب شرقی پهنه سندنج - سیرجان در این محدوده به‌علت نزدیکی به زون گسلی شمالی - جنوبی زندان به سمت شرقی - غربی تمایل یافته و به پیروی از آن جهت کلی راندگی‌ها شرقی - غربی شده است. این



شکل ۱- نقشه زمین‌شناسی توالی سنگ‌های ژوراسیک زیرین - میانی حسین‌آباد (نمونه‌های با پسوند H07) و توالی سنگ‌های ژوراسیک بالایی - کرتاسه زیرین حاجی‌آباد (نمونه‌های با پسوند HG07). محل‌های نمونه‌برداری‌ها با علامت ستاره مشخص شده است. با تغییرات از Seiffory و همکاران (۱۹۹۶) و Nazemzadeh (۲۰۰۲) pour.

سنگ آهک ماسه‌ای، آهک‌های اولیتی میکرواسپاریتی و سنگ‌های ولکانیکی است که در منطقه، گسترش قابل توجهی دارند. در واحد ولکانیکی - رسوبی در بخش‌هایی که بیرون زدگی سنگ‌های ولکانیکی دارای نسبت فراوانی بوده، به صورت زیر واحد ولکانیکی ژوراسیک بالایی - کرتاسه زیرین (JKv) و بخش‌هایی که سنگ‌های رسوبی دارای اهمیت بیشتری هستند، به عنوان زیر واحد رسوبی ژوراسیک بالایی - کرتاسه زیرین (JKI) نامگذاری شده‌اند. زیر واحد ولکانیکی نمایشگر سنگ‌های ولکانیکی این تناوب با ترکیب بازیک، حدواتر و اسیدی است. سنگ‌های این واحد به علت فوران در محیط دریایی به درجات گوناگونی تحت تأثیر دگرسانی گرمابی قرار گرفته‌اند. زیر واحد رسوبی در برگیرنده سنگ آهک ماسه‌ای دانه‌ریز تا سنگ آهک اولیتی میکرواسپاریتی، کمی شیل آهکی و سنگ آهک مارنی است. بر اساس شواهد دیرینه شناختی سن واحد ولکانیکی - رسوبی، ژوراسیک بالایی - کرتاسه زیرین است (Seiffory pour, 2002). توالی ولکانیکی - رسوبی در بخش‌های بالایی با ضخیم‌تر شدن لایه‌های آهک و ناپدید شدن سنگ‌های ولکانیکی به گونه ناپیوسته به واحد سنگ آهک اربیتولین دار کرتاسه زیرین (آپتین-آلبین) (KII) تبدیل می‌شود (Seiffory pour, 2002).

### پتروگرافی

با توجه به مطالعات پتروگرافی، سنگ‌های ماقمایی منطقه مورد مطالعه را می‌توان به دو گروه اصلی گابرو - دیوریت - بازالت ژوراسیک زیرین - میانی حسین‌آباد و بازالت - آندزیت - داسیت ژوراسیک بالایی - کرتاسه زیرین حاجی‌آباد تقسیم‌بندی نمود. در اغلب نمونه‌های منطقه حاجی‌آباد، فرآیند دگرسانی زیردریایی حاصل از عملکرد محلول‌های هیدرودترمالی بر روی

(۱) زمین‌شناسی منطقه حسین‌آباد: توالی ماقمایی - توربیدیتی ژوراسیک زیرین - کرتاسه زیرین منطقه حسین‌آباد توسط دو گسل حسین‌آباد در جنوب و باغات در شمال، که به طور موازی و با روندی نزدیک به شرقی - غربی امتداد دارند، احاطه شده‌اند. این توالی از دو واحد ولکانیکی - پلوتونیکی ژوراسیک زیرین - میانی (Jv1) و توربیدیتی ژوراسیک بالایی - کرتاسه زیرین (JKt) تشکیل یافته است (شکل ۱). واحد پلوتونیکی - ولکانیکی با سن ژوراسیک زیرین - میانی از گدازه‌های بازالتی، آندزیت بازالتی، آندزیتی و توف‌های شیشه‌ای وابسته همراه با توده‌های گابرو - دیوریت تشکیل یافته است. در این منطقه، واحد ولکانیکی - پلوتونیکی اساساً با سیل‌ها و دایک‌های تغذیه‌کننده‌ای با ترکیب گابرو و دیوریت آغاز و در بالا به تدریج به مخلوطی از جریان‌های گدازه‌ای بازالتی - آندزیتی تبدیل می‌شوند. سیل‌ها و دایک‌های گابرو - دیوریتی منطقه معرف ماقمایی تغذیه‌کننده این گدازه‌ها هستند. بر روی واحد ولکانیکی - پلوتونیکی ژوراسیک زیرین - میانی به طور عادی واحد توربیدیتی ژوراسیک بالایی - کرتاسه زیرین نهشته شده است. از آهک‌های این واحد مجموعه فسیلی با سن ژواراسیک بالایی - کرتاسه زیرین به دست آمده است (Nazemzadeh et al., 1996)

(۲) زمین‌شناسی منطقه حاجی‌آباد: توالی ماقمایی - رسوبی ژوراسیک بالایی - کرتاسه زیرین حاجی‌آباد توسط دو گسل حاجی‌آباد در شمال و درآگاه در جنوب، که به طور موازی و با روندی نزدیک به شرقی - غربی امتداد دارند، احاطه شده‌اند. این توالی از دو واحد ولکانیکی - رسوبی ژوراسیک بالایی - کرتاسه زیرین (JKlv) و سنگ آهک اربیتولین دار کرتاسه زیرین (KII) تشکیل یافته‌اند (شکل ۱). واحد ولکانیکی - رسوبی ژوراسیک بالایی - کرتاسه زیرین نمایشگر تناوبی از

یافته است. سنگ‌های بازالت آندزیتی بافت پورفیریک با خمیره سابافیتیک و همچنین، بافت حفره‌ای بادامکی را نشان می‌دهند (شکل ۲-پ و ۲-ت). حفره‌ها توسط کانی‌های ثانویه اپیدوت پر شده‌اند. فنوکریست‌ها شامل پلازیوکلاز بوده که به صورت منفرد و گاه به صورت تجمعات گلومرپورفیری مشاهده می‌شوند. در برخی از نمونه‌ها پلازیوکلازها به سوسوریت دگرسان شده‌اند. خمیره از بلورهای کلینوپیروکسن بی‌شکل و پلازیوکلاز همراه با کانی فرعی تیتانومگنتیت تشکیل یافته است (شکل ۲-پ). در سنگ‌های آندزیتی بافت پورفیریک با خمیره میکرولیتی جریانی مشاهده می‌شود (شکل ۲-ث). کانی اصلی سنگ پلازیوکلاز بوده که فنوکریست و خمیره سنگ را به خود اختصاص داده است. پلازیوکلازها گاه به صورت منفرد و گاه به صورت تجمعات گلومرپورفیری بوده، ترک‌خوردگی، شکستگی و تحلیل‌رفتگی از ویژگی‌های این کانی است. در بعضی از نمونه‌ها کانی‌های اپیدوت، کلریت، ترمولیت - اکتینولیت، لوکوکسن و اکسیدهای آهن - تیتان به صورت ثانویه فضای میان بلورهای پلازیوکلاز خمیره را اشغال کرده‌اند. پلازیوکلازها اغلب به سوسوریت دگرسان شده‌اند (شکل ۲-ث). سنگ‌های هیالوآندزیت بافت میکرولیتیک شیشه‌ای و حفره‌ای بادامکی را نشان می‌دهند. حفره‌ها توسط کانی‌های ثانویه کلسیت و کلریت پر شده است. این سنگ‌ها فاقد فنوکریست بوده، خمیره از بلورهای پلازیوکلاز و شیشه کدر غنی از اکسید آهن تشکیل یافته است (شکل ۲-ج و ۲-ج). سنگ‌های داسیتی بافت پورفیریک با خمیره میکروگرانولار را نشان می‌دهند. فنوکریست‌ها شامل کانی پلازیوکلاز بوده که تا حدودی سریسیتی و آلبیتی شده، دارای حاشیه خرد شده هستند و ماکل پلی‌ستنتیک را نشان می‌دهند. زمینه اولیه سنگ شیشه‌ای بوده که به کانی‌های کوارتز، فلدسپار و کانی‌های کدر تبدیل شده است (شکل ۲-ج).

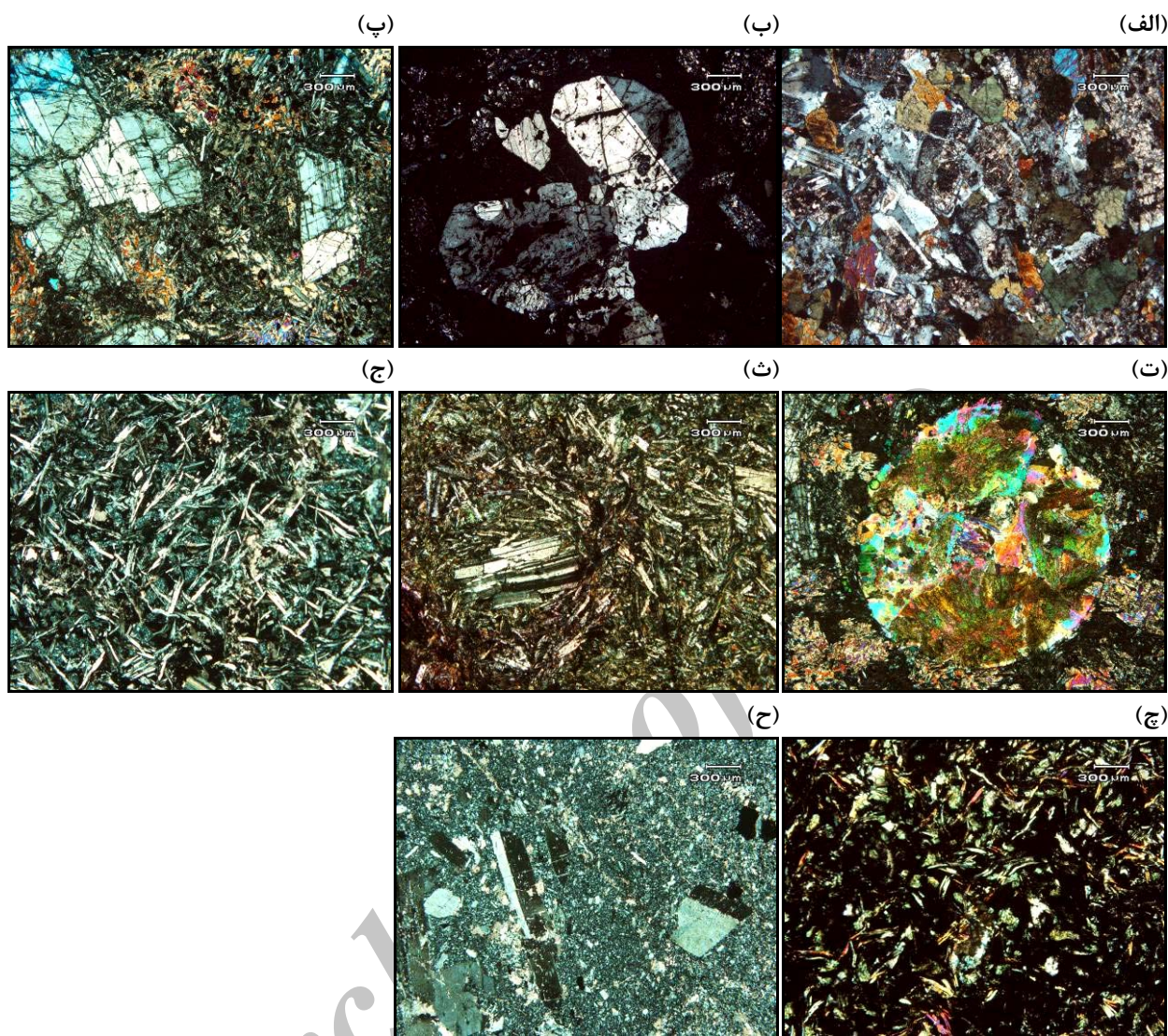
کانی‌های اصلی سنگ اثر گذاشته و کانی کلینوپیروکسن را به کانی‌های ثانویه ترمولیت - اکتینولیت، اپیدوت، کلریت، کلسیت و لوکوکسن و همین طور کانی پلازیوکلاز را به سوسوریت دگرسان نموده است.

(الف) گروه گابرو - دیوریت - بازالت حسین‌آباد: گروه گابرو - دیوریت - بازالت از سنگ‌های هورنبلند گابرو، کواتز دیوریت و بازالت تشکیل یافته است. هورنبلند گابروها از کانی‌های اصلی پلازیوکلاز، کلینوپیروکسن و هورنبلند تشکیل یافته است. در این سنگ‌ها بافت گرانولار قابل مشاهده است. کانی کلینوپیروکسن در هورنبلند گابرو به علت فرآیند دگرسانی زیردریایی به کانی‌های ثانویه ترمولیت - اکتینولیت، اپیدوت و کلریت دگرسان شده است. کانی فرعی روتیل به شکل سوزن‌های ریز در متن سنگ پراکنده است.

سنگ‌های کوارتز دیوریتی عمدتاً از کانی‌های اصلی پلازیوکلاز، کوارتز (کمتر از ۲۰ درصد) و هورنبلند همراه با کانی‌های فرعی اسفن و آپاتیت تشکیل یافته‌اند. بافت این سنگ‌ها گرانولار تا اینترگرانولار بوده و کانی اپیدوت به صورت ثانویه فضای میان پلازیوکلازها را پر کرده است. پلازیوکلازها اغلب به سوسوریت دگرسان شده‌اند (شکل ۲-الف).

سنگ‌های بازالتی، بافت پورفیریک با خمیره میکرولیتی - شیشه‌ای را نشان می‌دهند (شکل ۲-ب). فنوکریست‌ها شامل پیروکسن هستند و به صورت منفرد و تجمع‌های گلومرپورفیری مشاهده می‌شوند. خمیره از بلورهای کلینوپیروکسن تجزیه شده به هورنبلند و اکتینولیت و میکرولیت‌های ریز پلازیوکلاز همراه با شیشه تشکیل یافته است.

(ب) گروه بازالت - آندزیت - داسیت حاجی‌آباد: گروه بازالت - آندزیت - داسیت عمدتاً از سنگ‌های بازالت آندزیتی، آندزیت، هیالوآندزیت و داسیت تشکیل



شکل ۲- (الف) کوارتز دیوریت منطقه حسین‌آباد با بافت گرانولار که شامل کانی‌های پلازیوکلاز، کوارتز و هورنبلند است، ب) بازالت منطقه حسین‌آباد شامل فنوکریست‌های کلینوپیروکسن که به صورت تجمعات گلومروپورفیری مشاهده می‌شوند. خمیره از بلورهای ریز پلازیوکلاز و شیشه تشکیل یافته است، پ) بازالت آندزیتی منطقه حاجی‌آباد شامل فنوکریست‌های پلازیوکلاز که به صورت تجمعات گلومروپورفیری مشاهده می‌شوند. خمیره از بلورهای کلینوپیروکسن که بلورهای پلازیوکلاز را در بر گرفته‌اند، تشکیل یافته است، ت) بافت حفره‌ای بادامکی در بازالت آندزیتی منطقه حاجی‌آباد، حفره‌ها توسط کانی‌های ثانویه اپیدوت پر شده‌اند، ث) آندزیت منطقه حاجی‌آباد با بافت پورفیریک با خمیره میکرولیتی جریانی حاوی فنوکریست و خمیره پلازیوکلاز، ج، چ) هیالوآندریت منطقه حاجی‌آباد با بافت میکرولیتیک شیشه‌ای که خمیره از بلورهای پلازیوکلاز و شیشه تشکیل یافته است، ح) داسیت منطقه حاجی‌آباد با بافت پورفیریک با خمیره میکروگرانولار همراه با فنوکریست پلازیوکلاز که ماکل پلی سنتتیک را نشان می‌دهد. کلیه تصاویر در نور XPL هستند.

است، نمونه‌های انتخاب شده را می‌توان به دو گروه تقسیم‌بندی نمود. جدول ۱ شامل سنگ‌های ژوراسیک زیرین - میانی حسین‌آباد با ترکیب هورنبلند گابرو

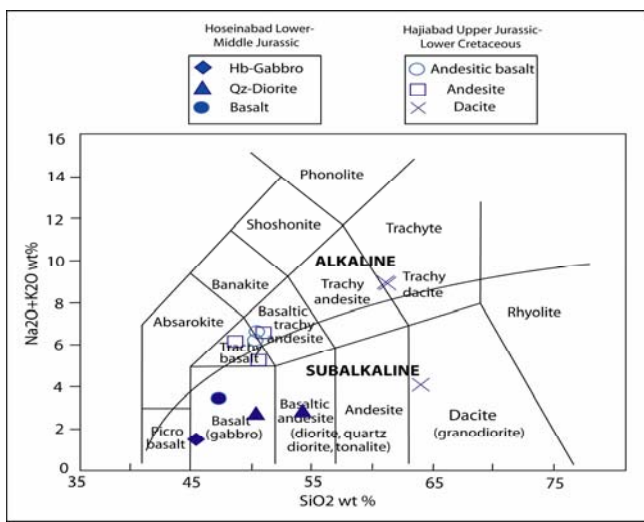
**ژئوشیمی کل سنگ**  
با توجه به اینکه هدف اصلی از این مطالعه شناسایی و مقایسه پetroژنتیکی سنگ‌های ژوراسیک تا کرتاسه

حسین‌آباد، شامل نمونه‌های هورنبلند گابرو در محدوده تولیتی و کوارتزدیوریت بازالت در محدوده حدواسط تولیت و کالک‌آلکالن (تحولی) قرار می‌گیرند. نمونه‌های ساب‌آلکالن حاجی‌آباد نیز شامل نمونه‌های داسیت و آندزیت در محدوده کالک‌آلکالن واقع می‌شوند (شکل ۴). در نمودار میزان اکسید پتاسیم در مقابل سیلیس (Rickwood, 1989)، کلیه نمونه‌ها دارای گرایش به سری‌های تولیتی با پتاسیم پایین هستند (شکل ۵).

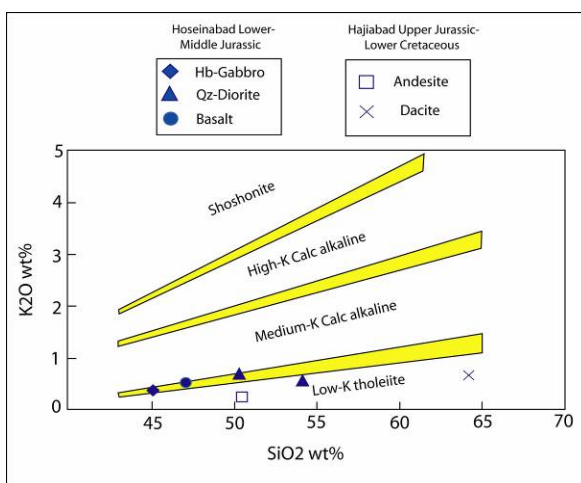
**ژئوشیمی عناصر کمیاب و نادر خاکی:** با توجه به این که نمونه‌های منطقه به علت فرآیند دگرسانی زیردریایی حاصل از عملکرد محلول‌های هیدروترمالی تا حدودی اسپیلیتی شده‌اند، به‌همین دلیل در تحلیل‌های ژئوشیمیایی و تکتونوماگمایی باید علاوه بر ژئوشیمی عناصر اصلی از عناصر کمیاب غیر متحرک نیز استفاده نمود. در نمودار  $\text{Zr}/\text{TiO}_2$  در مقابل  $\text{Y}/\text{TiO}_2$  (Piercey *et al.*, 2004)، نمونه‌های هورنبلند گابرو، کوارتزدیوریت و بازالت حسین‌آباد خصوصیات سری تولیتی را نشان می‌دهند، در حالی که نمونه‌های بازالت آندزیتی و آندزیت حاجی‌آباد گرایش تولیتی تا تحولی را دارا هستند (شکل ۶).

کوارتز دیوریت (H07-1, H07-7) و بازالت (H07-14) و سنگ‌های ژوراسیک بالایی - کرتاسه زیرین حاجی‌آباد با ترکیب بازالت آندزیتی (HG07-6, HG07-11, HG07-1, HG07-14) آندزیت (HG07-13) و داسیت (HG07-7, HG07-10, HG07-12) است.

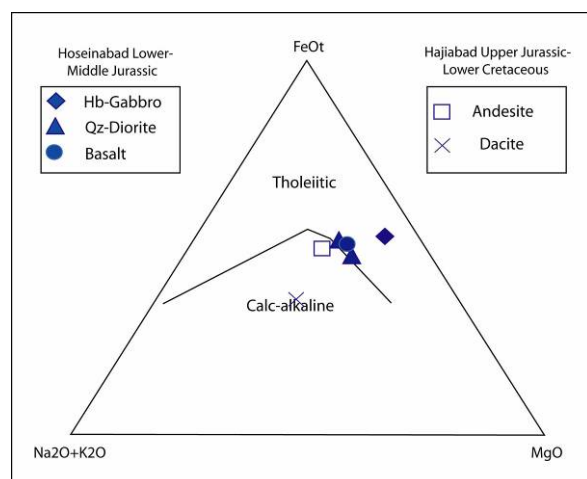
**ژئوشیمی عناصر اصلی:** از نظر طبقه‌بندی شیمیایی و سرشت ماقمایی، در نمودار مجموع آلکالی‌ها ( $\text{Na}_2\text{O} + \text{K}_2\text{O}$  wt%) در مقابل سیلیس ( $\text{SiO}_2$  wt%) (LeBas *et al.*, 1986)، نمونه‌های ژوراسیک زیرین - میانی حسین‌آباد، شامل نمونه‌های هورنبلند گابرو (H07-6) و کوارتزدیوریت (H07-1, H07-7) در محدوده گابرو - دیوریت - کوارتزدیوریت و نمونه بازالت (H07-14) در محدوده بازالت تصویر شده، در قلمرو ساب‌آلکالن قرار می‌گیرند (شکل ۳). اکثر نمونه‌های ژوراسیک بالایی - کرتاسه زیرین حاجی‌آباد شامل نمونه‌های بازالت آندزیتی (HG07-6, HG07-11, HG07-14) آندزیت (HG07-7, HG07-10, HG07-13) و داسیت (HG07-1) به دلیل اسپیلیتی شدن و افزایش میزان آلکالی‌ها، به ترتیب به تراکی آندزیت بازالتی، تراکی بازالت و تراکی داسیت تمایل داشته، گرایش آلکالن را نشان می‌دهند (شکل ۳). وجود گرایش آلکالن در این سنگ‌ها به علت فرآیندهای ثانویه (اسپیلیتی شدن) بوده، نشان دهنده ماهیت ماقمای این سنگ‌ها نیست. از طرفی، نمونه داسیتی (HG07-12) در محدوده داسیت و نمونه آندزیتی (HG07-6) در محدوده تراکی بازالت تصویر شده، در قلمرو ساب‌آلکالن قرار می‌گیرند (شکل ۳). در نمودار (Kuno, 1968) AFM



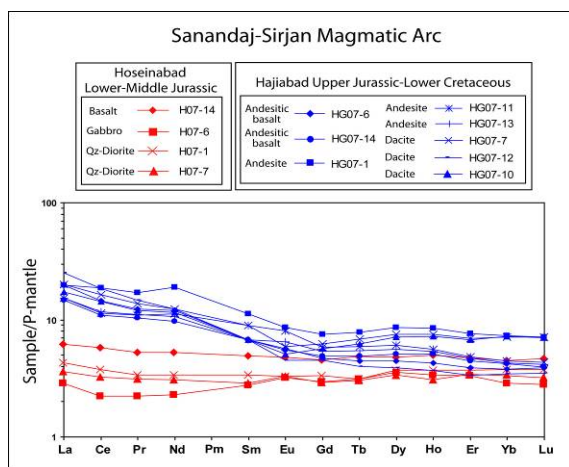
شکل ۳- نمودار مجموع آلکالی‌ها در مقابل سیلیس برای طبقه‌بندی شیمیایی و تعیین سرنشت ماقمایی (LeBas *et al.*, 1986) نمونه‌های ژوراسیک زیرین - میانی حسین‌آباد و ژوراسیک بالایی - کرتاسه زیرین حاجی‌آباد. نمونه‌های هورنبلند‌گابرو و کوارتزدیوریت حسین‌آباد در محدوده گابرو - دیوریت - کوارتزدیوریت و نمونه بازالت حسین‌آباد در محدوده بازالت تصویر شده، در قلمرو ساب‌آلکالن قرار می‌گیرند. نمونه‌های حاجی‌آباد به علت اسپلیتی شدن و افزایش میزان آلکالی‌ها به تراکی آندزیت بازالتی، تراکی بازالت و تراکی داسیت تمایل داشته، گرایش آلکالن را نشان می‌دهند. نمونه داسیتی حاجی‌آباد (HG07-12) در محدوده داسیت و نمونه آندزیتی حاجی‌آباد (HG07-6) در محدوده تراکی بازالت تصویر شده، در قلمرو ساب‌آلکالن قرار می‌گیرند.



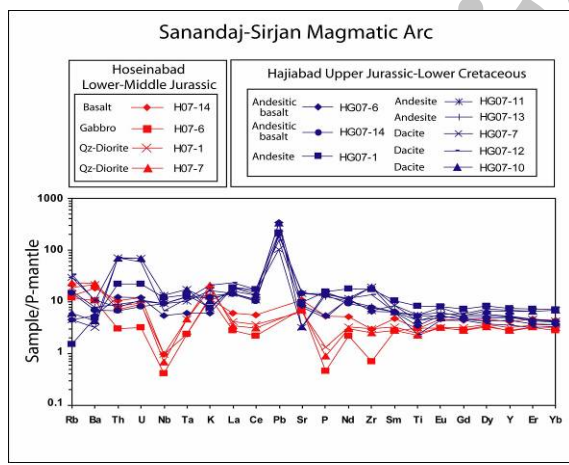
شکل ۵- نمودار  $K_2O$  در مقابل  $SiO_2$  (Rickwood, 1989)، برای تعیین گرایش ژئوشیمیایی نمونه‌های ساب‌آلکالن ژوراسیک زیرین - میانی حسین‌آباد و ژوراسیک بالایی - کرتاسه زیرین حاجی‌آباد. کلیه نمونه‌های ساب‌آلکالن حسین‌آباد و حاجی‌آباد گرایش به سری‌های تولیتی با پتسیم پایین را نشان می‌دهند.



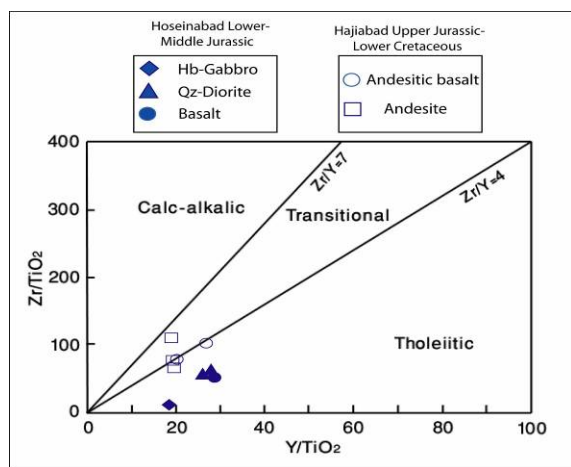
شکل ۴- نمودار (Kuno, 1968) AFM، برای تعیین گرایش ژئوشیمیایی نمونه‌های ساب‌آلکالن ژوراسیک زیرین - میانی حسین‌آباد و ژوراسیک بالایی - کرتاسه زیرین حاجی‌آباد. نمونه‌های ساب‌آلکالن حسین‌آباد در محدوده حد واسط تولیتی و کالک‌آلکالن (تحولی) و نمونه‌های ساب‌آلکالن حاجی‌آباد در محدوده کالک‌آلکالن واقع می‌شوند.



شکل ۷- نمودار عناصر نادر خاکی (نرمالیز شده نسبت به گوشته اولیه) (Sun and McDonough, 1989). نمونه‌های ژوراسیک زیرین - میانی حسین آباد الگوی مسطح در LREEها را مشابه با سری‌های تولیت جزایر قوسی نشان می‌دهند، در حالی که، نمونه‌های ژوراسیک بالایی - کرتاسه زیرین حاجی آباد غنی شدگی بیشتری را در کل عناصر نادر خاکی نسبت به نمونه‌های حسین آباد نشان داده، یک روند غنی شدگی در LREEها را مشابه با سری‌های کالک‌آکالان مناطق فرورانش نشان می‌دهند. به کمک این پدیده و نیز مشاهده جدایش نمونه‌ها در نمودارهای تکتونوماگمایی دیگر وجود دو نوع منشأ گوشته متاسوماتیزه متفاوت در تشکیل این سنگ‌ها کاملاً می‌تواند قابل توجیه باشد.



شکل ۸- نمودار عناصر کمیاب (نرمالیز شده به گوشته اولیه) (Sun and McDonough, 1989) نمونه‌های ژوراسیک زیرین - میانی حسین آباد الگوهای غنی شدگی در عناصر Rb, Ba, K, Th, U, Nb, Ta و Sr و تهی شدگی از Pb را نشان می‌دهند. همچنین، نمونه‌های ژوراسیک بالایی - کرتاسه زیرین حاجی آباد غنی شدگی بیشتری را در کل عناصر کمیاب نسبت به نمونه‌های حسین آباد نشان داده، روندهای غنی شدگی در عناصر Th, U, Nb, Ta و Ti را نشان می‌دهند. این خصوصیات معرف مناطق زون فرورانش است (Pearce et al., 1995).



شکل ۶- نمودار  $Zr/TiO_2$  در مقابل  $Y/TiO_2$  (Piercey et al., 2004) برای تعیین گرایش ژئوشیمیایی نمونه‌های ژوراسیک زیرین - میانی حسین آباد و ژوراسیک بالایی - کرتاسه زیرین حاجی آباد. همان‌گونه که در این نمودار نیز مشاهده می‌شود، نمونه‌های حاجی آباد در بالاتری را از نسبت  $Zr/TiO_2$  نشان می‌دهند. نمونه‌های حسین آباد در این نمودار خصوصیات سری تولیتی و نمونه‌های بازالت‌آندزی و آندزیت حاجی آباد گرایش تولیتی تا تحولی را نشان می‌دهند.

بر اساس نمودار عناصر نادر خاکی و چند عنصری (نرمالیز شده نسبت به گوشته اولیه)، نمونه‌های هورنبلند گابرو (H07-6)، کواتز دیوریت (H07-1, H07-7) و بازالتی (H07-14) ژوراسیک زیرین - میانی حسین آباد یک الگوی مسطح در LREEها ( $La_{(N)}/Yb_{(N)} = 1-1.3$ ) را نشان می‌دهند (شکل ۷). میزان فراوانی عناصر نادر خاکی در این نمونه‌ها برابر  $P_{\text{mantle}} \times 2.9-6.2$  و  $Yb \times 3.3$  است. همچنین، نمونه هورنبلند گابرو غنی شدگی را در عنصر Eu نشان داده که بیانگر تبلور کانی پلاژیوکلاز در این سنگ‌هاست. در نمودار چند عنصری (نرمالیز شده نسبت به گوشته اولیه) این نمونه‌ها در عناصری همچون Nb و Sr غنی شدگی و در عناصر K, Ba, Rb تهی شدگی را نشان می‌دهند (شکل ۸).

### شیمی کانی‌ها

آنالیز شیمی کانی‌یکی بر روی مقاطع صیقلی متفاوتی از سنگ‌های ژوراسیک زیرین - میانی حسین‌آباد و سنگ‌های ژوراسیک بالایی - کرتاسه زیرین حاجی‌آباد انجام پذیرفته است. آنالیزهای نقطه‌ای کانی کلینوپیروکسن در نمونه‌های بازالتی حسین‌آباد و بازالت آندزیتی حاجی‌آباد (جدول ۲)، آنالیزهای نقطه‌ای کانی پلازیوکلاز در نمونه‌های هورنبلند گابرو حسین‌آباد و سنگ‌های بازالت آندزیتی حاجی‌آباد (جدول ۳) و آنالیزهای نقطه‌ای کانی آمفیبول در نمونه‌های هورنبلند گابرو و کوارتز دیوریت حسین‌آباد (جدول ۴) انجام شده است.

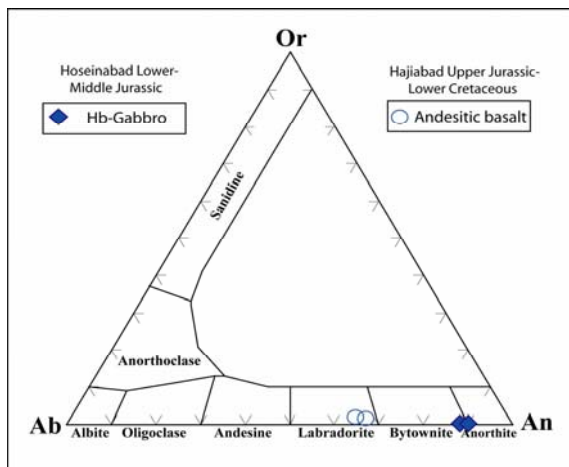
**کلینوپیروکسن:** کانی کلینوپیروکسن در نمونه‌های بازالتی ژوراسیک زیرین - میانی حسین‌آباد با میزان پایین اکسید تیتانیم مشخص می‌شوند (مقادیر  $0/34$  تا  $0/54$  درصد وزنی). این کلینوپیروکسن‌ها از نظر ترکیبی در نمودار ترکیبی ولاستونیت- فروسیلیت- انسناتیت (Moritomo *et al.*, 1988) در حوضه اوژیت‌های غنی از منیزیم واقع می‌شوند (شکل ۹) و دارای فرمول ترکیبی  $\text{Wo}_{36.7} \text{En}_{43.1} \text{Fs}_{10.7}$  تا  $\text{Wo}_{46} \text{En}_{43.7} \text{Fs}_{19.5}$  هستند. میزان عدد منیزیم کلینوپیروکسن بازالت‌ها در طیف  $70/69$  تا  $87/07$  در تغییر است (جدول ۲). کانی‌های کلینوپیروکسن در نمونه‌های بازالت آندزیتی ژوراسیک بالایی - کرتاسه زیرین حاجی‌آباد با میزان بیشتر اکسید تیتانیم برابر  $1/17$  تا  $1/51$  درصد وزنی مشخص می‌شوند. این کلینوپیروکسن‌ها از نظر ترکیبی در طیف دیوپسید بوده (شکل ۹)، با فرمول ترکیبی  $\text{Wo}_{43.05}$  تا  $\text{Wo}_{45.75} \text{En}_{41.91} \text{Fs}_{12.33}$  مشخص می‌شوند. میزان عدد منیزیم کلینوپیروکسن‌ها در بازالت آندزیتی نیز مقادیر  $73/40$  تا  $79/81$  را نشان می‌دهد (جدول ۲).

نسبت  $\text{La}_{(\text{N})}/\text{Nb}_{(\text{N})}$  برای نمونه‌های H07-6، H07-7 و H07-14 به ترتیب برابر  $6/3$ ،  $5/1$ ،  $6/9$  و  $4/4$  هستند که تهی شدگی را در  $\text{Nb}$  نشان می‌دهند. نمونه هورنبلند گابرو، یک تهی شدگی را در عنصر زیرکنیم نشان می‌دهد که می‌توان آن را به تفریق زیرکن نسبت داد. همچنین، این نمونه‌ها، تهی شدگی را در عنصر فسفر نشان داده که می‌توان آن را به تفریق آپاتیت نسبت داد. با توجه به نمودار عناصر نادر خاکی و چند عنصری، نمونه‌های هورنبلند گابرو، کواتز دیوریت و بازالت، ارتباط ژنتیکی نزدیکی داشته و از منبع گوشته‌ای یکسانی حاصل شده‌اند، ولی نمونه بازالتی در کل عناصر کمیاب افزایشی را نشان داده که بیانگر طبیعت تحول یافته‌تر این نمونه است (شکل ۷). این نمونه‌ها از لحاظ ژئوشیمیایی با سری‌های تولیت جزایر قوسی مشابه هستند. در نمودار عناصر نادر خاکی و چند عنصری (نمایش شده نسبت به گوشته اولیه) نمونه‌های بازالت آندزیتی (HG07-6، HG07-11، HG07-1، HG07-14) آندزیت (HG07-7، HG07-10، HG07-12) و داسیت (HG07-12) ژوراسیک بالایی - کرتاسه زیرین حاجی‌آباد یک روند غنی شده در LREEs ( $\text{La}_{(\text{N})}/\text{Yb}_{(\text{N})} = 2.3-7.2$ ) را نشان می‌دهند. میزان فراوانی عناصر نادر خاکی در این نمونه‌ها برابر  $\text{La} \times 14.8-25.18$  و  $\text{Yb} \times 3.4-7.3$  P-mantle هستند. در نمودار چند عنصری (نمایش شده نسبت به گوشته اولیه) این نمونه‌ها در عناصری همچون  $\text{Pb}$  و  $\text{Th}$  غنی شدگی و در عناصر  $\text{Nb}$  و  $\text{Ti}$  فرورفتگی نشان می‌دهند. نسبت  $\text{La}_{(\text{N})}/\text{Nb}_{(\text{N})}$  برای این نمونه‌ها برابر  $1/3$  تا  $3/5$  بوده که فرورفتگی را در  $\text{Nb}$  نشان می‌دهند. بر اساس این مشاهدات، این نمونه‌ها از نظر ژئوشیمیایی با سری‌های تحولی زون فرورانش مشابه هستند (شکل ۸).

جدول ۲- آنالیز الکترون میکروپرورب، کانی کلینوپیروکسن در نمونه‌های بازالتی ژوراسیک زیرین - میانی حسین‌آباد و نمونه‌های بازالت آندزیتی ژوراسیک بالایی - کرتاسه زیرین حاجی‌آباد

Sample No.	H07-14									
<b>Rock Name</b>	Basalt									
<b>SiO<sub>2</sub></b>	50.494	50.295	50.885	51.071	50.885	50.791	50.008	51.157	50.575	50.894
<b>TiO<sub>2</sub></b>	0.452	0.539	0.419	0.455	0.424	0.465	0.399	0.379	0.547	0.440
<b>Al<sub>2</sub>O<sub>3</sub></b>	1.861	3.057	1.918	1.774	1.954	2.061	2.192	1.527	2.553	1.844
<b>FeO<sub>t</sub></b>	11.793	9.014	10.348	10.770	10.162	10.117	10.916	11.123	10.823	10.720
<b>Cr<sub>2</sub>O<sub>3</sub></b>	0.006	0.118	0.029	0.004	0.000	0.006	0.000	0.000	0.028	0.028
<b>MnO</b>	0.311	0.302	0.387	0.394	0.305	0.292	0.342	0.315	0.328	0.253
<b>NiO</b>	0.000	0.000	0.000	0.000	0.013	0.023	0.013	0.000	0.037	0.000
<b>MgO</b>	15.156	13.840	14.540	14.777	14.145	14.621	14.160	14.966	14.206	14.880
<b>CaO</b>	17.712	20.232	19.005	18.476	19.271	19.303	19.232	17.960	18.437	19.109
<b>Na<sub>2</sub>O</b>	0.233	0.212	0.191	0.197	0.217	0.245	0.253	0.182	0.256	0.247
<b>K<sub>2</sub>O</b>	0.001	0.011	0.000	0.000	0.030	0.004	0.011	0.000	0.000	0.000
<b>Total</b>	98.020	97.620	97.720	97.920	97.410	97.930	97.530	97.610	97.79	98.410
<b>TSi</b>	1.920	1.917	1.941	1.945	1.948	1.930	1.913	1.954	1.930	1.925
<b>TAI</b>	0.080	0.083	0.059	0.055	0.052	0.070	0.087	0.046	0.070	0.075
<b>M1Al</b>	0.004	0.055	0.027	0.024	0.037	0.022	0.012	0.023	0.045	0.008
<b>M1Ti</b>	0.013	0.015	0.012	0.013	0.012	0.013	0.011	0.011	0.016	0.013
<b>M1Fe<sup>+3</sup></b>	0.067	0.009	0.021	0.019	0.008	0.039	0.070	0.015	0.011	0.059
<b>M1Fe<sup>+2</sup></b>	0.057	0.131	0.112	0.105	0.135	0.096	0.098	0.099	0.118	0.081
<b>M1Cr</b>	0.000	0.004	0.001	0.000	0.000	0.000	0.000	0.000	0.001	0.001
<b>M1Mg</b>	0.859	0.787	0.827	0.839	0.807	0.828	0.808	0.852	0.808	0.839
<b>M2Fe<sup>+2</sup></b>	0.251	0.148	0.197	0.219	0.182	0.186	0.181	0.241	0.217	0.199
<b>M2Mn</b>	0.010	0.010	0.013	0.013	0.010	0.009	0.011	0.010	0.011	0.008
<b>M2Ca</b>	0.722	0.826	0.777	0.754	0.791	0.786	0.788	0.735	0.754	0.775
<b>M2Na</b>	0.017	0.016	0.014	0.015	0.016	0.018	0.019	0.013	0.019	0.018
<b>Sum_cat</b>	4.000	3.999	4.000	4.000	3.999	4.000	3.999	4.000	4.000	4.000
<b>Wo</b>	36.708	43.265	39.911	38.690	40.893	40.405	40.298	37.640	39.303	39.497
<b>En</b>	43.705	41.179	42.485	43.055	41.764	42.583	41.283	43.642	42.136	42.794
<b>Fs</b>	19.587	15.556	17.604	18.256	17.343	17.013	18.420	18.718	18.561	17.709
<b>Mg#</b>	73.6	73.8	72.8	72.1	71.8	74.6	74.3	71.4	70.7	74.9

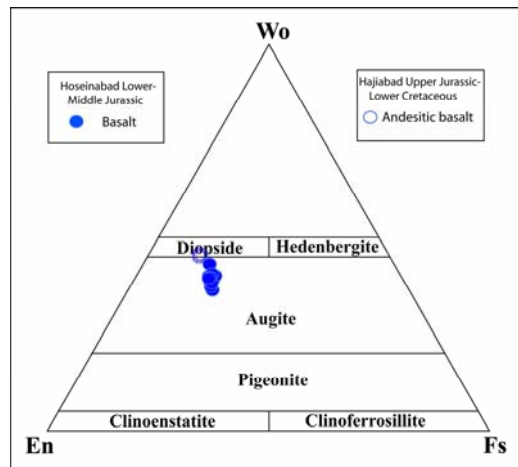
Sample No.	HG07-6	HG07-14	HG07-14	HG07-14	HG07-14						
<b>Rock Name</b>	Andesitic basalt										
<b>SiO<sub>2</sub></b>	50.284	50.359	49.661	50.310	50.553	50.506	50.100	51.191	50.367	49.869	50.004
<b>TiO<sub>2</sub></b>	1.171	1.428	1.468	1.199	1.358	1.339	1.433	1.511	1.428	1.486	1.379
<b>Al<sub>2</sub>O<sub>3</sub></b>	3.917	4.161	4.346	3.951	3.682	3.614	4.451	1.818	3.866	4.468	4.183
<b>FeO<sub>t</sub></b>	7.739	7.239	7.175	7.462	7.229	7.462	7.202	9.604	7.508	7.231	7.422
<b>Cr<sub>2</sub>O<sub>3</sub></b>	0.376	0.431	0.700	0.323	0.246	0.212	0.406	0.067	0.332	0.284	0.421
<b>MnO</b>	0.178	0.114	0.213	0.161	0.128	0.141	0.099	0.192	0.145	0.169	0.137
<b>NiO</b>	0.037	0.029	0.001	0.047	0.023	0.020	0.027	0.013	0.000	0.000	0.051
<b>MgO</b>	14.133	14.236	14.200	14.074	14.206	14.409	14.152	13.991	14.206	14.107	14.123
<b>CaO</b>	21.374	20.951	20.760	21.267	21.216	21.291	21.032	20.504	20.978	21.426	21.09
<b>Na<sub>2</sub>O</b>	0.407	0.372	0.438	0.421	0.350	0.419	0.495	0.445	0.398	0.394	0.367
<b>K<sub>2</sub>O</b>	0.001	0.000	0.000	0.000	0.001	0.001	0.002	0.019	0.016	0.011	0.013
<b>Total</b>	99.620	99.320	98.960	99.220	98.99	99.410	99.400	99.350	99.240	99.44	99.190
<b>TSi</b>	1.871	1.878	1.859	1.879	1.892	1.881	1.865	1.924	1.881	1.857	1.869
<b>TAI</b>	0.129	0.122	0.141	0.121	0.108	0.119	0.135	0.076	0.119	0.143	0.131
<b>M1Al</b>	0.043	0.061	0.050	0.052	0.054	0.039	0.060	0.004	0.051	0.053	0.053
<b>M1Ti</b>	0.033	0.040	0.041	0.034	0.038	0.038	0.040	0.043	0.040	0.042	0.039
<b>M1Fe<sup>+3</sup></b>	0.038	0.000	0.019	0.022	0.000	0.029	0.018	0.018	0.007	0.027	0.015
<b>M1Fe<sup>+2</sup></b>	0.090	0.094	0.076	0.098	0.107	0.088	0.084	0.149	0.101	0.087	0.092
<b>M1Cr</b>	0.011	0.013	0.021	0.010	0.007	0.006	0.012	0.002	0.01	0.008	0.012
<b>M1Mg</b>	0.784	0.792	0.792	0.783	0.793	0.800	0.785	0.784	0.791	0.783	0.787
<b>M2Fe<sup>+2</sup></b>	0.113	0.132	0.129	0.114	0.120	0.116	0.122	0.135	0.126	0.111	0.124
<b>M2Mn</b>	0.006	0.004	0.007	0.005	0.004	0.004	0.003	0.006	0.005	0.005	0.004
<b>M2Ca</b>	0.852	0.837	0.832	0.851	0.851	0.849	0.839	0.826	0.839	0.855	0.844
<b>M2Na</b>	0.029	0.027	0.032	0.030	0.025	0.030	0.036	0.032	0.029	0.028	0.027
<b>Sum_cat</b>	4.000	4.000	4.000	4.000	4.000	4.000	4.000	3.999	3.999	3.999	3.999
<b>Wo</b>	45.265	45.057	44.851	45.441	45.405	45.036	45.305	43.058	44.902	45.751	45.217
<b>En</b>	41.645	42.598	42.686	41.842	42.302	42.408	42.417	40.881	42.308	41.912	42.131
<b>Fs</b>	13.091	12.345	12.463	12.717	12.292	12.556	12.278	16.061	12.789	12.337	12.653
<b>Mg#</b>	79.4	77.8	79.4	78.7	77.7	79.6	79.2	73.4	77.7	79.8	78.4



شکل ۱۰- نمودار آلبیت-آنورتیت-اورتوуз (Deer *et al.*, 1991) برای تعیین ترکیب شیمیایی پلاژیوکلازها در نمونه‌های هورنبلندهای گابرو ژوراسیک زیرین - میانی حسین‌آباد و نمونه‌های بازالت آندزیتی ژوراسیک بالایی - کرتاسه زیرین حاجی‌آباد. پلاژیوکلازها در نمونه‌های هورنبلندهای گابرو حسین‌آباد دارای ترکیب شیمیایی آنورتیت تا بیتونیت و در نمونه‌های بازالت آندزیتی حاجی‌آباد دارای ترکیب لابرادوریت هستند.

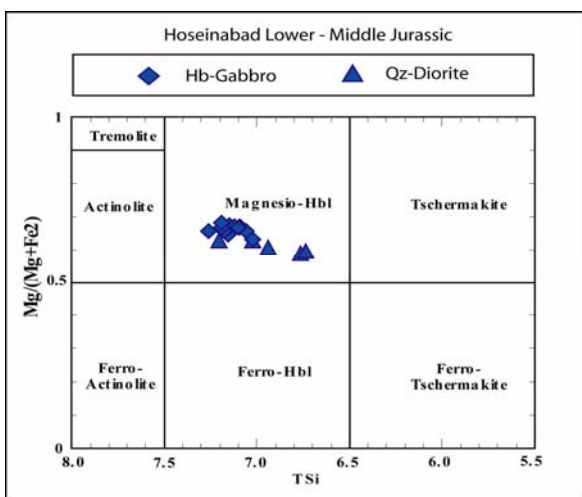
جدول ۳- آنالیز الکترون میکروپریوب کانی پلاژیوکلاز در نمونه‌های هورنبلندهای گابرو ژوراسیک زیرین - میانی حسین‌آباد و نمونه‌های بازالت آندزیتی ژوراسیک بالایی - کرتاسه زیرین حاجی‌آباد

Sample No.	H07-6	H07-6	HG07-6	HG07-6
Rock Name	Hbl Gabbro	Hbl Gabbro	Andesitic basalt	Andesitic basalt
SiO <sub>2</sub>	42.630	42.565	52.027	51.088
TiO <sub>2</sub>	0.000	0.000	0.097	0.087
Al <sub>2</sub> O <sub>3</sub>	33.969	33.257	30.469	30.399
Fe <sub>2</sub> O <sub>3</sub>	0.445	0.333	0.969	1.005
MnO	0.041	0.099	0.035	0.017
MgO	0.000	0.000	0.056	0.040
CaO	20.344	21.868	13.149	13.674
Na <sub>2</sub> O	1.519	1.343	3.835	3.646
K <sub>2</sub> O	0.014	0.025	0.202	0.181
Total	98.920	99.460	100.740	100.040
Si	8.073	8.059	9.414	9.332
Al	7.576	7.415	6.493	6.539
Ti	0.000	0.000	0.013	0.012
Fe <sup>+3</sup>	0.005	0.004	0.010	0.010
Mn	0.007	0.016	0.005	0.003
Mg	0.000	0.000	0.015	0.011
Ca	4.128	4.436	2.549	2.676
Na	0.558	0.493	1.345	1.291
K	0.003	0.006	0.047	0.042
Cations	20.408	20.473	20.013	20.044
X	15.649	15.474	15.920	15.883
Z	4.759	4.999	4.093	4.161
Ab	11.900	10.000	34.100	32.200
An	88.000	89.900	64.700	66.700
Or	0.100	0.100	1.200	1.000



شکل ۹- نمودار ولستونیت-فروسیلیت-انستاتیت (Moritimo *et al.*, 1988) برای تعیین ترکیب شیمیایی کانی کلینوپیروکسن در نمونه‌های بازالتی ژوراسیک زیرین - میانی حسین‌آباد و نمونه‌های بازالت آندزیتی ژوراسیک بالایی - کرتاسه زیرین حاجی‌آباد. کلینوپیروکسن‌های نمونه بازالتی حسین‌آباد در حوضه اوزیت‌های غنی از منیزیم و نمونه‌های بازالت آندزیتی حاجی‌آباد در طیف دیوپسید واقع می‌شوند.

پلاژیوکلاز: پلاژیوکلاز در نمودار آلبیت-آنورتیت-اورتوуз (Deer *et al.*, 1991)، در نمونه‌های هورنبلندهای گابرو حسین‌آباد دارای ترکیب شیمیایی آنورتیت تا بیتونیت (شکل ۱۰)، یعنی با درصد آنورتیت (An%) ۸۸ تا ۸۹/۹ درصد در تغییر است. میزان درصد مولی اورتوуз (Or%) پلاژیوکلازها در هورنبلندهای گابروها ۰/۱ درصد است (جدول ۳). میزان مول درصد اورتوуз (Or%) این پلاژیوکلازها ۱/۲ تا ۱/۲ درصد است. همچنین، میزان مول درصد آلبیت (Ab%) در این پلاژیوکلازها در نوسان است ۳۲/۲ تا ۳۴/۱ درصد در جدول ۳. پلاژیوکلازها در نمونه‌های بازالت آندزیتی حاجی‌آباد دارای ترکیب لابرادوریت (شکل ۱۰) با میزان درصد مولی آنورتیت (An%) ۶۶/۷ تا ۶۴/۷ است.



شکل ۱۱- نمودار  $Mg/(Mg+Fe^{+2})$  در مقابل سیلیس تراهدری (Leake *et al.*, 1997) TSi. آمفیبول‌ها در نمونه‌های هورنبلند گابرو و کوارتز دیوریت ژوراسیک زیرین - میانی حسین‌آباد دارای ترکیب منیزیوهومنبلند هستند.

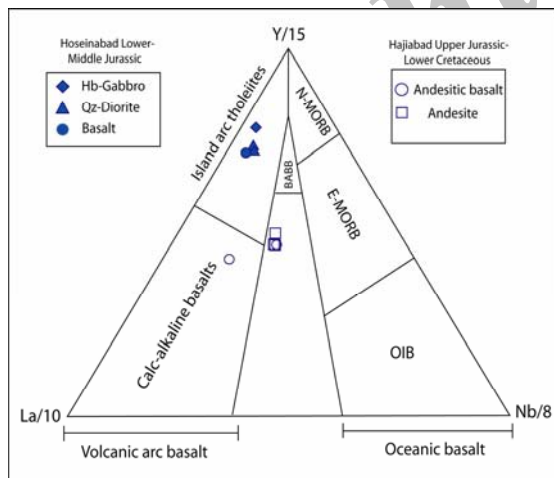
**آمفیبول:** آمفیبول‌های سبز تیره یکی از مهم‌ترین کانی‌های سنگ‌های هورنبلند گابرو و کوارتز دیوریت حسین‌آباد هستند. محاسبه کاتیون‌کلسیم این آمفیبول‌ها (تنها در سایت B) میزان  $1/86$  تا  $1/58$  را نشان می‌دهد. علاوه بر این، میزان کاتیون‌های تیتان و سدیم این آمفیبول‌ها نیز تغییراتی بین  $0/04$  تا  $0/21$  و  $0/52$  تا  $0/20$  را نشان می‌دهند (جدول ۴). ترکیب این آمفیبول‌ها در نمودار نسبت  $Mg/(Mg+Fe^{+2})$  در مقابل سیلیس تراهدری (Leake *et al.*, 1997)، دارای ترکیب منیزیوهومنبلند است (شکل ۱۱).

جدول ۴- آنالیز الکترون میکروپرورب، کانی آمفیبول در نمونه‌های هورنبلند گابرو و کوارتز دیوریت ژوراسیک زیرین - میانی حسین‌آباد

Sample No.	H07-1	H07-1	H07-1	H07-7	H07-7	H07-7	H07-6	H07-6	H07-6
Rock Name	Qz-Diorite	Qz-Diorite	Qz-Diorite	Qz-Diorite	Qz-Diorite	Qz-Diorite	Hb-Gabbro	Hb-Gabbro	Hb-Gabbro
SiO <sub>2</sub>	47.510	48.950	48.030	43.840	45.710	45.520	47.584	47.235	49.225
TiO <sub>2</sub>	1.203	0.402	0.809	1.369	1.930	1.860	0.842	0.851	0.796
Al <sub>2</sub> O <sub>3</sub>	8.220	6.890	7.980	9.170	9.250	9.440	6.088	6.479	6.018
FeO	15.850	14.700	15.470	12.860	15.600	15.580	13.592	13.720	13.406
Cr <sub>2</sub> O <sub>3</sub>	0.039	0.002	0.032	0.000	0.038	0.012	0.000	0.000	0.042
MnO	0.457	0.340	0.520	0.277	0.419	0.343	0.327	0.337	0.274
MgO	12.960	13.470	13.630	12.460	12.260	12.380	14.041	13.810	14.221
CaO	10.840	11.060	10.150	9.730	10.830	10.800	11.109	11.282	11.328
Na <sub>2</sub> O	1.056	0.741	0.899	1.720	1.198	1.238	0.760	0.856	0.756
K <sub>2</sub> O	0.198	0.178	0.147	0.297	0.221	0.216	0.131	0.173	0.134
F	0.000	0.000	0.000	0.000	0.000	0.000	0.000	0.000	0.000
Cl	0.000	0.000	0.000	0.000	0.000	0.000	0.000	0.032	0.026
Total	98.290	96.730	97.630	91.720	97.420	97.380	94.470	94.770	96.180
TSi	6.939	7.207	7.020	6.874	6.764	6.734	7.147	7.090	7.259
TAl	1.061	0.793	0.980	1.126	1.236	1.266	0.853	0.910	0.741
Sum_T	8.000	8.000	8.000	8.000	8.000	8.000	8.000	8.000	8.000
CaI	0.353	0.402	0.393	0.568	0.376	0.379	0.224	0.235	0.304
CCr	0.004	0.000	0.004	0.000	0.004	0.001	0.000	0.000	0.005
CFe <sup>+3</sup>	0.104	0.057	0.124	0.000	0.040	0.076	0.192	0.201	0.015
CTi	0.132	0.044	0.089	0.161	0.215	0.207	0.095	0.096	0.088
CMg	2.822	2.957	2.970	2.913	2.705	2.730	3.144	3.090	3.126
CFe <sup>+2</sup>	1.585	1.540	1.421	1.358	1.660	1.607	1.345	1.378	1.462
Sum_C	5.000	5.000	5.000	5.000	5.000	5.000	5.000	5.000	5.000
BFe <sup>+2</sup>	0.247	0.213	0.346	0.328	0.230	0.245	0.171	0.143	0.176
BMn	0.057	0.042	0.064	0.037	0.053	0.043	0.042	0.043	0.034
BCa	1.696	1.745	1.589	1.635	1.717	1.712	1.788	1.814	1.790
Sum_B	2.000	2.000	2.000	2.000	2.000	2.000	2.000	2.000	2.000
ANa	0.299	0.212	0.255	0.523	0.344	0.355	0.221	0.249	0.216
AK	0.037	0.033	0.027	0.059	0.042	0.041	0.025	0.033	0.025
Sum_A	0.336	0.245	0.282	0.582	0.386	0.396	0.246	0.282	0.241
Sum_cat	15.336	15.245	15.282	15.582	15.386	15.396	15.246	15.282	15.241

Sample	H07-6							
Name	Hb-Gabbro							
SiO <sub>2</sub>	48.269	47.640	47.886	47.441	46.778	47.492	47.689	48.273
TiO <sub>2</sub>	1.016	0.891	0.817	0.931	0.919	1.049	0.954	0.872
Al <sub>2</sub> O <sub>3</sub>	6.700	6.331	6.228	6.564	7.830	7.121	6.794	6.513
FeO	13.689	13.626	13.567	13.641	14.066	13.697	13.292	12.813
Cr <sub>2</sub> O <sub>3</sub>	0.025	0.000	0.000	0.000	0.000	0.000	0.000	0.000
MnO	0.421	0.320	0.391	0.371	0.383	0.387	0.300	0.284
MgO	13.558	13.939	13.498	13.833	13.124	13.611	13.823	14.109
CaO	11.444	11.367	11.602	11.291	10.792	11.347	11.570	11.263
Na <sub>2</sub> O	0.717	0.894	0.743	0.904	0.931	0.884	0.786	0.754
K <sub>2</sub> O	0.193	0.142	0.159	0.142	0.239	0.179	0.211	0.163
F	0.000	0.000	0.018	0.000	0.000	0.000	0.035	0.176
Cl	0.038	0.049	0.076	0.042	0.085	0.035	0.040	0.041
Total	96.050	95.200	94.990	95.160	95.150	95.800	95.490	95.260
TSi	7.153	7.118	7.178	7.094	7.023	7.060	7.098	7.193
TAl	0.847	0.882	0.822	0.906	0.977	0.940	0.902	0.807
Sum_T	8.000	8.000	8.000	8.000	8.000	8.000	8.000	8.000
CaI	0.322	0.232	0.278	0.250	0.408	0.307	0.289	0.336
CCr	0.003	0.000	0.000	0.000	0.000	0.000	0.001	0.000
CFe <sup>+3</sup>	0.053	0.163	0.114	0.158	0.045	0.109	0.133	0.025
CTi	0.113	0.100	0.092	0.105	0.104	0.117	0.107	0.098
CMg	2.995	3.105	3.016	3.084	2.937	3.017	3.067	3.134
CFe <sup>+2</sup>	1.514	1.400	1.500	1.404	1.506	1.450	1.405	1.406
Sum_C	5.000	5.000	5.000	5.000	5.000	5.000	5.000	5.000
BFe <sup>-2</sup>	0.130	0.140	0.087	0.144	0.215	0.144	0.117	0.166
BMn	0.053	0.040	0.050	0.047	0.049	0.049	0.038	0.036
BCa	1.817	1.820	1.863	1.809	1.736	1.807	1.845	1.798
Sum_B	2.000	2.000	2.000	2.000	2.000	2.000	2.000	2.000
ANa	0.206	0.259	0.216	0.262	0.271	0.255	0.227	0.218
AK	0.036	0.027	0.030	0.027	0.046	0.034	0.040	0.031
Sum_A	0.243	0.286	0.246	0.289	0.317	0.289	0.267	0.249
Sum_cat	15.243	15.286	15.246	15.289	15.317	15.289	15.267	15.249

گوشه‌های زیرکمانی و وجود یک منشأ غنی شده  
که برای این نمونه‌هاست. (Elliott *et al.*, 1996)

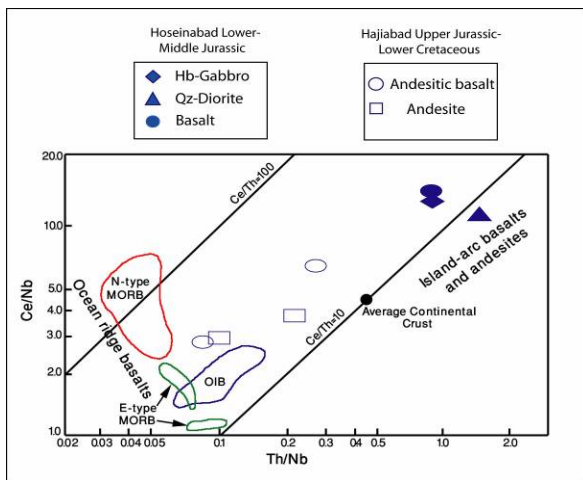


شکل ۱۲ - نمودار La-Y-Nb (Cabannis and Lecolle, 1989) برای تقسیم‌بندی محیط تکتونیکی نمونه‌های ژوراسیک زیرین - میانی حسین‌آباد و ژوراسیک بالایی - کرتاسه زیرین حاجی‌آباد. نمونه‌های حسین‌آباد مشخصاً در محدوده تولیتی‌های جزایر قوسی (IAT) و نمونه‌های بازالت آندزیتی و آندزیت حاجی‌آباد در محدوده‌های بازالت قاره‌ای و یک نمونه در محدوده بازالت کالک‌آلکالن تصویر می‌شوند.

## محیط تکتونیکی و پتروزنیز

(۱) تعیین محیط تکتونیکی بر اساس عناصر کمیاب: با استفاده از عناصر کمیاب نسبتاً غیرمتحرک، طبیعت ژئوشیمیایی و جایگاه تکتونیکی سنگ‌های ژوراسیک زیرین - میانی حسین‌آباد و سنگ‌های ژوراسیک بالایی - کرتاسه زیرین حاجی‌آباد بر روی نمودارهای تفکیک مشخص شده‌اند. در نمودار La-Y-Nb (Cabannis and Lecolle, 1989) Nb هورنبلند گابرو، کواتز دیوریت و بازالت حسین‌آباد در محدوده تولیتی‌های جزایر قوسی (IAT) و نمونه‌های بازالت آندزیتی و آندزیت حاجی‌آباد در محدوده‌های بازالت قاره‌ای و یک نمونه در محدوده بازالت کالک‌آلکالن تصویر می‌شوند (شکل ۱۲).

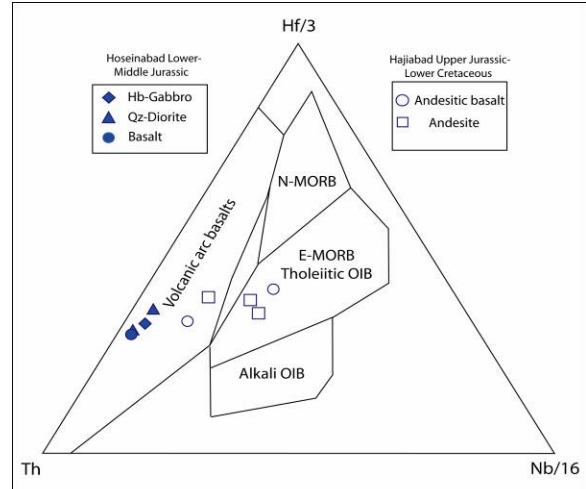
افزایش میزان عناصر پایستان نیوبیم و کم تحرک لانتانیم در این نمونه‌های حاجی‌آباد، بیانگر تأثیر بیشتر سیالات و مذاب‌های حاصل از ورقه فرورانش در گوه



شکل ۱۴- نمودار نسبت  $\text{Ce}/\text{Nb}$  در مقابل نسبت  $\text{Th}/\text{Nb}$  (Saunders and Tarney, 1991) برای تقسیم‌بندی محیط تکتونیکی نمونه‌های ژوراسیک زیرین - میانی حسین‌آباد و ژوراسیک بالایی - کرتاسه زیرین حاجی‌آباد. این نمودار اطلاعات کامل‌تری درباره منشأ و خاستگاه ژئوشیمیایی محیط‌های تکتونیکی مختلف ارائه می‌کند. در این نمودار نمونه‌های حسین‌آباد در محدوده بازالت‌های جزایر قوسی (IAT) و نمونه‌های حاجی‌آباد در محدوده‌های بین بازالت‌های جزایر قوسی (IAT) و مورب غنی شده (E-MORB) تصویر می‌شوند.

(۲) تعیین محیط تکتونیکی با استفاده از شیمی کلینوپیروکسن: به طور کلی، شیمی کلینوپیروکسن‌ها در سنگ‌های ماقمایی به شدت تحت تأثیر ترکیب ماقمایی مادری است که از آن متبلور شده‌اند. بنابراین، ترکیب شیمیایی کلینوپیروکسن‌ها می‌تواند به عنوان راهنمایی برای تعیین گرایش ماقمایی سنگ‌های ولکانیکی از محیط‌های تکتونیکی مختلف در نظر گرفته شود (Leterrier *et al.*, 1982; Beccaluva *et al.*, 1989; Huot *et al.*, 2002) بر اساس نمودار  $\text{TiO}_2$ - $\text{SiO}_2/100$ - $\text{Na}_2\text{O}$  (Beccaluva *et al.*, 1989) کلینوپیروکسن‌های بازالت حسین‌آباد در محدوده هم‌پوشانی حوضه‌های تولیتی‌های جزایر قوسی (IAT)، بونینیت‌ها (BON) و مورب‌های نرم‌ال (N-MORB) تصویر می‌شوند، در حالی که کلینوپیروکسن‌های بازالت آندزیتی حاجی‌آباد تمایل به مورب‌ها (MORB) را نشان می‌دهند (شکل ۱۵).

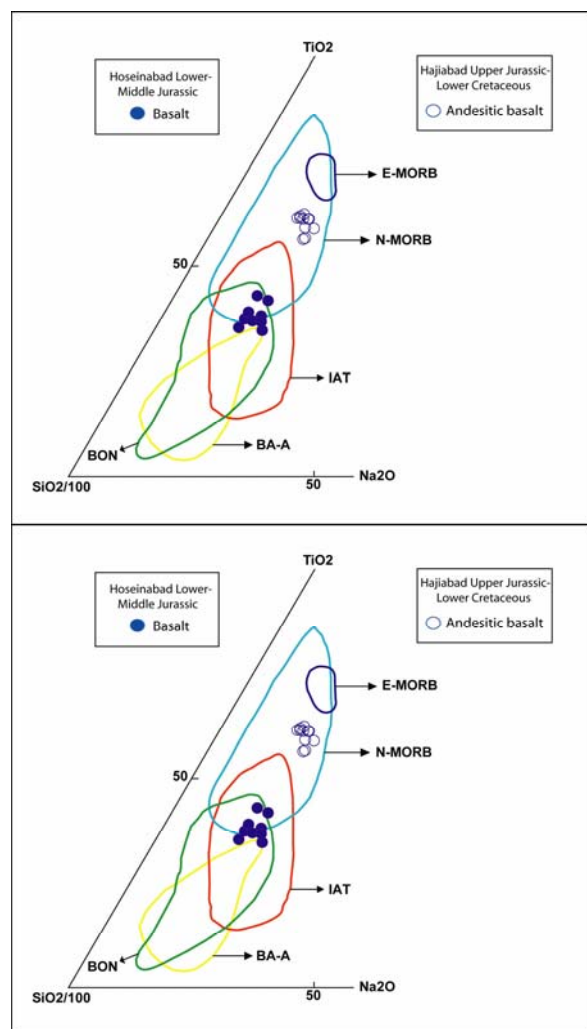
در نمودار  $\text{Th}-\text{Hf}-\text{Nb}$  (Wood, 1980) هورنبلند گابرو، کواتزدیوریت و بازالت حسین‌آباد در محدوده بازالت‌های مرتبط با قوس‌های آتشفشنی (VAB) و نمونه‌های بازالت آندزیتی و آندزیت حاجی‌آباد در محدوده‌های بین بازالت‌های قوس‌های آتشفشنی و مورب غنی شده تصویر می‌شوند (شکل ۱۳). نسبت‌های عنصری می‌توانند اطلاعات کامل‌تری درباره منشأ و خاستگاه ژئوشیمیایی سری‌های مافیک ارائه نمایند. در نمودار  $\text{Th}/\text{Nb}$  در مقابل  $\text{Ce}/\text{Nb}$  (Saunders and Tarney, 1991)، نمونه‌های هورنبلند گابرو، کواتزدیوریت و بازالت حسین‌آباد در محدوده بازالت آندزیتی و جزایر قوسی (IAT) و نمونه‌های بازالت آندزیتی و آندزیت حاجی‌آباد در محدوده‌های بین بازالت‌های جزایر قوسی (IAT) و مورب غنی شده (E-MORB) تصویر می‌شوند (شکل ۱۴).



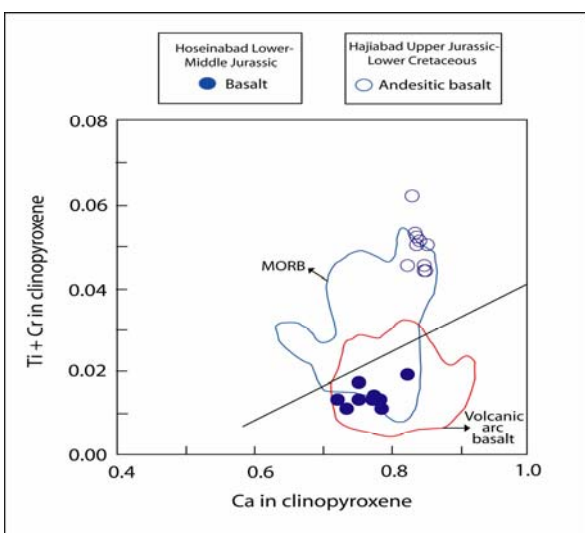
شکل ۱۳- نمودار  $\text{Th}-\text{Hf}-\text{Nb}$  (Wood, 1980)، برای تقسیم‌بندی محیط تکتونیکی نمونه‌های ژوراسیک زیرین - میانی حسین‌آباد و ژوراسیک بالایی - کرتاسه زیرین حاجی‌آباد. نمونه‌های حسین‌آباد به صورت کاملاً مجزا در محدوده بازالت‌های مرتبط با قوس‌های آتشفشنی (VAB) و نمونه‌های حاجی‌آباد در محدوده‌های بین بازالت‌های قوس‌های آتشفشنی و مورب غنی شده تصویر می‌شوند.

1982)، کلینوپیروکسن های بازالت حسین آباد در محدوده هم پوشانی بازالت های مرتبط با قوس های آتشفشاری (VAB) و مورب ها (MORB) تصویر می شوند. در این نمودار، کلینوپیروکسن موجود در بازالت آندزیتی حاجی آباد در محدوده بازالت های مرتبط با مورب ها قرار می گیرند (شکل ۱۶).

همچنین، در نمودار اکسید الومینیم در مقابل مجموع اکسید تیتانیم و کروم (Hout *et al.*, 2002)، کلینوپیروکسن بازالت حسین آباد در محدوده تولیت های جزایر قوسی واقع شده است، علاوه بر این، کلینوپیروکسن موجود در بازالت حاجی آباد دارای میزان بالاتری از اکسید تیتانیم و کروم بوده، در محدوده N-MORB ها تصویر شده اند (شکل ۱۷).



شکل ۱۵- نمودار مثلثی  $\text{TiO}_2\text{-SiO}_2\text{-Na}_2\text{O}$  (Beccaluva *et al.*, 1989) کلینوپیروکسن های برای تعیین محیط تکتونیکی نمونه های بازالت ژوراسیک زیرین - میانی حسین آباد و بازالت آندزیتی ژوراسیک حاجی آباد. ترکیب کلینوپیروکسن در بونینیت ها از Van der Laan و همکاران (۱۹۹۲) و تولیت های جزایر قوسی و بازالت های مرتبط با حوضه های پشت قوس از Hawkins (۱۹۹۴) و در MORB از Allan (۱۹۹۴) و در Stakes (۱۹۹۴) است. کلینوپیروکسن های بازالت حسین آباد در محدوده هم پوشانی حوضه های تولیت های جزایر قوسی (IAT)، بونینیت ها (BON) و مورب های نرمال (N-MORB) تصویر می شوند و کلینوپیروکسن های بازالت آندزیتی حاجی آباد تمایل به مورب ها (MORB) را نشان می دهند.



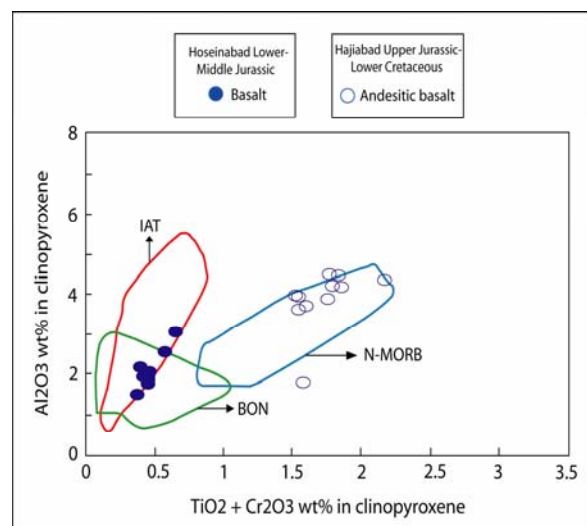
شکل ۱۶- نمودار مجموع کاتیون های Ti و Cr در مقابل کاتیون Ca (Leterrier *et al.*, 1982) کلینوپیروکسن های برای تعیین محیط تکتونیکی نمونه های بازالت ژوراسیک زیرین - میانی حسین آباد و بازالت آندزیتی ژوراسیک بالایی - کرتاسه زیرین حاجی آباد. کلینوپیروکسن های بازالت حسین آباد در محدوده هم پوشانی بین بازالت های مرتبط با قوس های آتشفشاری و مورب ها و کلینوپیروکسن بازالت آندزیتی حاجی آباد در محدوده بازالت های مرتبط با مورب ها قرار می گیرند.

در نمودار مجموع کاتیون های تیتانیم و کروم در مقابل کاتیون کلسیم (Leterrier *et al.*, 1982) می

همان‌گونه که از نمودارهای نسبت Sm/Yb در مقابل Sm و نسبت Sm/Yb در برابر نسبت La/Sm (Aldanmaz *et al.*, 2000) مشخص است، ترکیب سنگ‌های ژوراسیک زیرین - میانی حسین‌آباد و سنگ‌های ژوراسیک بالایی - کرتاسه زیرین حاجی‌آباد از ذوب بخشی منشأهای گوشته‌ای متفاوت، همراه با ترکیبات مختلف حاصل شده است. سنگ‌های ژوراسیک زیرین - میانی حسین‌آباد از ذوب بخشی ۱۰ تا ۳۰ درصد یک منشأ گوشته‌ای اسپینل لرزولیت با ترکیب گوشته اولیه (PM) و سنگ‌های ژوراسیک بالایی - کرتاسه زیرین حاجی‌آباد از ذوب بخشی ۱۰ تا ۳۰ درصد یک منشأ گوشته‌ای اسپینل-گارنٹ لرزولیت با ترکیب مورب غنی شده (E-MORB) حاصل شده‌اند (شکل ۱۸)

### بحث و نتیجه‌گیری

۱- سنگ‌های ماقمایی مزوژوییک در بخش جنوبی کمربند سندنج - سیرجان وابسته به حوضه رسوی - ماقمایی گستردگی است که به سن ژوراسیک زیرین تا میانی در ناحیه حسین‌آباد و به سن ژوراسیک بالایی تا کرتاسه زیرین در منطقه حاجی‌آباد رخمنون پیدا کرده‌اند. توالی سنگ‌های پلوتونیکی - ولکانیکی منطقه حسین‌آباد نمایانگر گدازه‌های ولکانیکی همراه با سیل‌ها و دایک‌های با ترکیب گابرو - دیوریت بوده که توسط واحد توربیدیتی ژوراسیک بالایی - کرتاسه زیرین پوشیده شده‌اند. توالی سنگ‌های ولکانیکی - رسوی منطقه حاجی‌آباد نمایانگر تنابوی از سنگ آهک ماسه‌ای، آهک‌های اوپولیتی میکرواسپاریتی و سنگ‌های ولکانیکی است که با واحد سنگ آهک اربیتولین دار کرتاسه زیرین پوشیده شده است.



شکل ۱۷- نمودار  $\text{Al}_2\text{O}_3$  در مقابل  $\text{Mg} = \text{Cr}_2\text{O}_3 + \text{Ti}_2\text{O}_3$  و  $\text{Al}_2\text{O}_3$  کلینوپیروکسن‌ها برای تعیین محیط تکتونیکی نمونه‌های بازالت ژوراسیک زیرین - میانی حسین‌آباد و بازالت آندزیتی ژوراسیک بالایی - کرتاسه زیرین حاجی‌آباد. ترکیب کلینوپیروکسن در بونیتیت از Van der Laan و همکاران (۱۹۹۲)، در تولیتیت جزایر قوسی از Franklin و Stakes (۱۹۹۴) و در MORB از Allan (۱۹۹۴) و در N-MORB از Hawkins (۱۹۹۴) است. کلینوپیروکسن بازالت حسین‌آباد در محدوده تولیتی‌های جزایر قوسی و کلینوپیروکسن بازالت حاجی‌آباد با میزان بالاتری از اکسید Ti و Cr، در محدوده N-MORB قرار دارد.

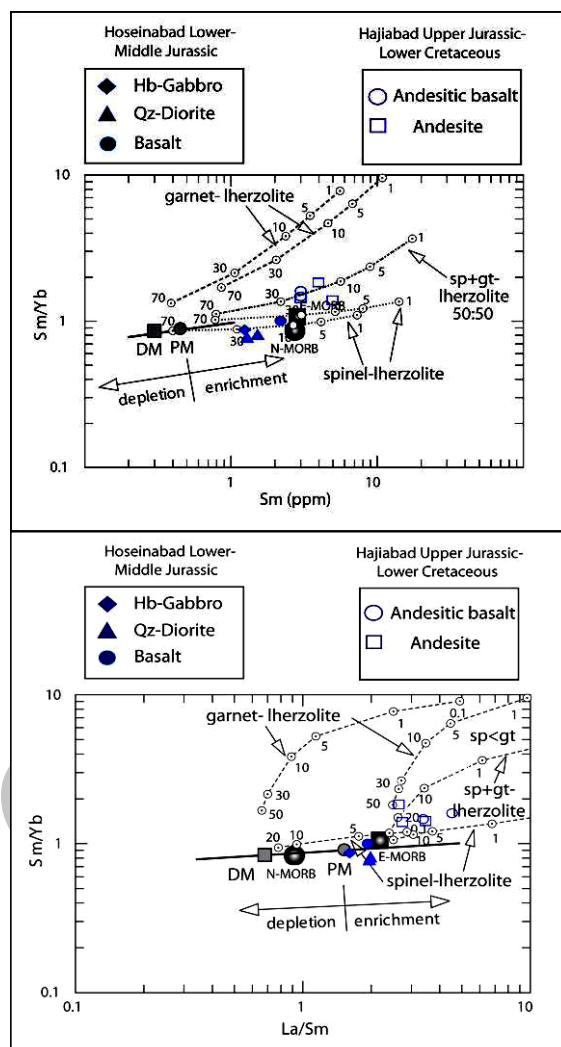
### پتروژنیز

به‌طور کلی، تغییرات کانی‌های باقیمانده و درجه ذوب بخشی در گوشته مرتبط با زون‌های فرورانش را می‌توان توسط فراوانی عناصر نادر خاکی و از همه مهم‌تر بر اساس نسبت‌های این عناصر مدل‌سازی نمود. از طرفی، نسبت Sm/Yb توالی‌های مافیک به ترکیب کانی‌شناسی ناحیه منشأ این سری‌ها وابسته بوده، زیرا Yb به شدت در گارننت نسبت به کلینوپیروکسن و / یا اسپینل سازگار است. بنابراین، می‌توان از نمودارهای نسبت Sm/Yb در مقابل Sm/Yb و یا نسبت La/Sm برای پی بردن به تغییرات در رژیم و درجه ذوب بخشی ناحیه منشأ سری‌های مافیک استفاده نمود (Aldanmaz *et al.*, 2000).

۲- با توجه به مطالعات پتروگرافی، نمونه‌های ژوراسیک زیرین - میانی حسین‌آباد از هورنبلند گابرو، کواتز دیوریت و بازالت و نمونه‌های ژوراسیک بالایی - کرتاسه ژوراسیک حاجی‌آباد عمدها از بازالت‌آندرزیتی، آندزیت، هیالوآندرزیت و داسیت تشکیل یافته‌اند. این توالی‌های ماقمایی به‌علت فوران در محیط دریایی تحت‌تأثیر محلول‌های هیدرотرمالی کم و بیش اسپیلیتی شده‌اند.

۳- با توجه به مطالعات ژئوشیمیایی کل سنگ، از لحاظ سرشت ماقمایی نمونه‌های ژوراسیک زیرین - میانی حسین‌آباد گرایش تولیتی و نمونه‌های ژوراسیک بالایی - کرتاسه ژوراسیک حاجی‌آباد گرایش به سمت سری‌های تولیتی تا کالک‌آلکالن (تحولی) را نشان می‌دهند. بر اساس نمودارهای عناصر کمیاب و نادر خاکی (نمایلیز شده نسبت به گوشه‌های اولیه) نمونه‌های ژوراسیک زیرین - میانی حسین‌آباد الگوی مسطح در LREE‌ها همراه با غنی‌شدگی در Rb، Ba، K و Sr و La/Sr تهی‌شدگی در Nb را نشان می‌دهند. از لحاظ ژئوشیمیایی این نمونه‌ها با سری‌های تولیت جزایر قوسی مرتبط با پهنه‌های فرورانش مشابهند، در حالی که، نمونه‌های ژوراسیک بالایی - کرتاسه ژوراسیک حاجی‌آباد غنی‌شدگی بیشتری را در کل عناصر کمیاب و نادر خاکی نسبت به نمونه‌های حسین‌آباد نشان داده، روند غنی‌شدگی در La ها به همراه عناصری، همچون Ti، Pb و U و تهی‌شدگی را در عناصر Nb، Ta و شان می‌دهند. از لحاظ ژئوشیمیایی این نمونه‌ها با سری‌های تحولی مناطق فرورانش مشابه هستند.

۴- از لحاظ ژئوشیمی کانیایی، کانی کلینوپیروکسن در نمونه‌های بازالتی ژوراسیک زیرین - میانی حسین‌آباد دارای ترکیب اوزیت‌های غنی از منیزیم و در نمونه‌های بازالت آندزیتی ژوراسیک بالایی - کرتاسه



شکل ۱۸- نمودارهای نسبت Sm/Yb در مقابل Sm و نسبت Sm/Yb در برابر نسبت La/Sm برای تعیین درجات ذوب‌بخشی منشأهای گوشه‌ای متغیر (Aldanmaz et al., 2000) در نمونه‌های ژوراسیک زیرین - میانی حسین‌آباد و ژوراسیک بالایی - کرتاسه ژوراسیک حاجی‌آباد. روند گوشه‌ای (خط ضخیم) توسط ترکیب گوشه‌های تهی شده (DM)، گوشه‌ای اولیه (PM) و گوشه‌ای اولیه (McKenzie and O'Nions, 1991) (DM) McDonough and Sun, 1995) مشخص می‌شود. منحنی‌های ذوب بخشی برای منشأ گوشه‌ای اسپینل لرزولیت و گارنت لرزولیت با ترکیبات گوشه‌های تهی شده و گوشه‌ای اولیه از Aldanmaz (۲۰۰۰). ترکیب E-MORB و N-MORB از McDonough and Sun (۱۹۸۹) است. سنگ‌های ژوراسیک زیرین - میانی حسین‌آباد از ذوب بخشی ۱۰ تا ۳۰ درصد یک منشأ گوشه‌ای اسپینل لرزولیت با ترکیب گوشه‌ای اولیه (PM) و سنگ‌های ژوراسیک بالایی - کرتاسه ژوراسیک حاجی‌آباد از ذوب بخشی ۱۰ تا ۳۰ درصد یک منشأ گوشه‌ای اسپینل-گارنت لرزولیت با ترکیب مورب غنی شده (E-MORB) حاصل شده‌اند.

منشأ گوشه‌ای اسپینل لرزولیت با ترکیب گوشه‌ای اولیه (PM) حاصل شده است. این گوشه کم و بیش متوسط‌متایزه، به میزان کمی تحت تأثیر رسوبات و سیالات ناشی از مراحل اولیه فرورانش ورقه اقیانوسی قرار گرفته است. ماجمای مادر توالی ژوراسیک بالایی - کرتاسه زیرین حاجی‌آباد با ترکیب تولیت جزایر قوسی (IAT) تا مورب غنی شده (E-MORB) از ذوب بخشی ۱۰ تا ۳۰ درصد یک منشأ گوشه‌ای گارت - اسپینل لرزولیت با ترکیب مورب غنی شده حاصل شده است. در این سنگ‌ها، گوشه متوسط‌متایزه به میزان بیشتری تحت تأثیر رسوبات و سیالات حاصل از اعماق بیشتر ورقه فرورانشی قرار گرفته است.

۶- این توالی‌های سنگی در نتیجه فرورانش مایل اقیانوس نشوتیس به زیر پهنه سنندج - سیرجان، از زمان ژوراسیک زیرین تا کرتاسه زیرین، در محیط جزایر کمانی تشکیل یافته‌اند. ماجماهای مادر این توالی‌های سنگی در آشیانه‌های ماجمایی پوسته اقیانوسی شواهد تغیریق را نشان می‌دهند (حضور سنگ‌های حدواسط). این توالی‌های ماجمایی در محیط زیردریایی کمان اقیانوسی فوران کرده و تحت تأثیر محلول‌های هیدروترمالی کم و بیش اسپیلیتی شده‌اند. Omrani و همکاران (۲۰۰۸) نشان دادند که سنگ‌های ولکانیکی مزوژوییک در پهنه سنندج - سیرجان شمالی دارای گرایش کالک‌آلکالن بوده، با ماجماتیسم کمانی در مناطق فرورانش هستند. به عقیده آنها کمان ماجمایی مزوژوییک پهنه سنندج - سیرجان در نتیجه فرورانش پوسته اقیانوسی نشوتیس به زیر حاشیه فعال قاره‌ای ایران مرکزی (پهنه سنندج - سیرجان) تشکیل یافته است.

زیرین حاجی‌آباد در طیف دیوپسید قرار می‌گیرد. پلاژیوکلазها در نمونه‌های هورنبلند گابرو و کوارتز دیوریت حسین‌آباد دارای ترکیب شیمیایی آنورتیت تا بیتونیت و در نمونه‌های بازالت آندزیتی حاجی‌آباد دارای ترکیب لاپرادوریت هستند. در نمودارهای تکتونوماگمایی کلینوپیروکسن در سنگ‌های بازالت ژوراسیک زیرین - میانی حسین‌آباد و سنگ‌های بازالت آندزیتی ژوراسیک بالایی - کرتاسه زیرین حاجی‌آباد، شیمی کلینوپیروکسن‌ها از دو الگوی متفاوت تبعیت نموده‌اند که این امر می‌تواند نشان‌دهنده منشأهای گوناگون ماجمای مادر تشکیل‌دهنده این سنگ‌ها باشد. با توجه به ترکیب شیمیایی کلینوپیروکسن‌ها و با استفاده از نمودارهای مربوطه آنچه که می‌توان برداشت نمود، این است که ماجمای مادر کلینوپیروکسن‌های سنگ‌های بازالتی حسین‌آباد دارای ترکیب تولیت‌های جزایر قوسی است. کلینوپیروکسن‌های این سنگ‌ها از تیتانیم تهی شده بوده، این تهی‌شدگی می‌تواند با خاصیت ماجمای مادر آنها (ماجمای نوع جزایر قوسی) مرتبط باشد. کلینوپیروکسن‌های موجود در سنگ‌های بازالت آندزیتی حاجی‌آباد در نمودارهای تکتونوماگمایی به کلینوپیروکسن‌های موجود در نواحی مرتبط با مورب‌ها گرایش نشان می‌دهند. این کلینوپیروکسن‌ها با میزان بالاتری از تیتانیم مشخص می‌شوند و این غنی‌شدگی می‌تواند با منشأ متوسط‌متایزه گوه گوشه‌ای این سنگ‌ها در ارتباط باشد.

۵- با استفاده از نمودارهای تکتونوماگمایی و پتروژنتیکی، ماجمای مادر سنگ‌های ژوراسیک زیرین - میانی حسین‌آباد و سنگ‌های ژوراسیک بالایی - کرتاسه زیرین حاجی‌آباد از ذوب بخشی منشأهای گوشه‌ای متفاوت حاصل شده است. ماجمای مادر توالی ژوراسیک زیرین - میانی حسین‌آباد با ترکیب تولیت جزایر قوسی (IAT) از ذوب بخشی ۱۰ تا ۳۰ درصد یک

## منابع

- Agard, P., Omrani, J., Jolivet, L. and Moutheraeau, F. (2005) Convergence history across Zagros (Iran): constraints from collisional and earlier deformation. *International Journal of Earth Science* 94: 401-419.
- Aldanmaz, E., Pearce, J. A., Thirlwall, M. F. and Mitchell, J. G. (2000) Petrogenetic evolution of late Cenozoic, post-collision volcanism in western Anatolia, Turkey. *Journal of Volcanological Geothermal Research* 102: 67-95.
- Allen, M. B., Jackson, J. and Walker, R. (2004) Late Cenozoic reorganization of the Arabia-Eurasia collision and the comparison of short-term and long-term deformation rates. *Tectonics* 23: 1-16.
- Alric, G. and Virlogeux, D. (1977) *Pétrographie et géochimie des roches métamorphiques et magmatiques de la région de Deh Bid-Bavanat, Chaîne de Sanandaj-Sirjan, Iran*. Thèse 3ème cycle, université scientifique et médicale de Grenoble, France.
- Beccaluva, L., Macciotta, G., Piccardo, G. B. and Zeda, O. (1989) Clinopyroxene compositions of ophiolite basalts as petrogenetic indicator. *Chemical Geology* 77: 165-182
- Berberian, F. and Berberian, M. (1981) Tectono-plutonic episodes in Iran, In: Gupta, H.K. and Delany, F.M. (Eds.): *Zagros, Hindukosh, Himalaya geodynamic evolution*. American Geophysical Union Washington 5-32.
- Berberian, M. and King, G. C. P. (1981) Towards a paleogeography and tectonic evolution of Iran. *Canadian Journal of Earth Sciences* 18: 210-265.
- Berberian, M. and Nogol, M. (1974) Preliminary explanation text of the geology of Deh Sard and Khabr maps with some remarks on the metamorphic complexes and the tectonics of the area (two geological maps, 1/100000 from the Hajabad quadrangle map). Geological Survey of Iran, internal report.
- Braud, J. (1978) Geological map of Kermanshah 1/250000 scale. Geological Survey of Iran.
- Braud, J. (1987) La suture du Zagros au niveau de Kermanshah (Kurdistan Iranien): reconstitution paleogeographique, evolution géodynamique, magmatique et structurale. Ph. D. theses, Université Paris-Sud.
- Cabanis, B. and Lecolle, M. (1989) Le diagramme La/10-Y/15-Nb/8: un outil pour la discrimination des séries volcaniques et la mise en évidence des processus de mélange et/ou de contamination crustale. *Comptes Rendus de l'Académie des Sciences* 309: 2023-2029.
- Davoudzadeh, M., Soffel, H. and Schmidt, K. (1981) On the rotation of the Central-East Iran microplate. *Neues Jahrbuch für Geologie und Paläontologie* 3: 180-192.
- Deer, W. A., Howie, R. A. and Zussman, J. (1991) An introduction to the rock-forming minerals. Longman Scientific Technical, New York.
- Dewey, J. F., Pitman, W. C., Ryan, W. B. F. and Bonnin, J. (1973) Plate tectonics and the evolution of the Alpine system. *Geological Society of America Bulletin* 84: 3137-3180.
- Dimitrijevic, M. D. (1973) Geology of Kerman. Geological Survey of Iran, No. 72.
- Elliott, T., Plank, T., Zindler, A., White, W. & Bourdon, B. (1997) Element transport from slab to volcanic front at the Mariana arc. *Journal of Geophysical Research* 102: 14991-15019.
- Forster, H. (1976) Continental drift in Iran in relation to the Afar structures. In: A., Pilger and A., Rosler (Eds.): *Afar between continental and oceanic rifting (VII)*. Schweizerbartsche Verlagsbuchhandlung, Stuttgart 182-190.
- Hawkins, J. W. and Allan, J.F. (1994) Petrologic evolution of Lau Basin sites 834 through 839. In: J. W., Hawkins, L. M. Parson and J. F., Allan (Eds.): *Proceedings of the Ocean Drilling Program. Scientific Results*, College Station, Texas.

- Hout, F., Hebert, R., Varfalvy, V., Beaudoin, G., Wang, C. S., Liu, Z. F., Cotten, J. and Dostal, J. (2002) The Beimrang melange (southern Tibet) brings additional constraints in assessing the origin, metamorphic evolution and obduction processes of the Yarlung Zangbo ophiolite. *Journal of Asian Earth Sciences* 21: 307-322.
- Jackson, J., Hains, J. and Holt, W. (1995) The accommodation of Arabia-Eurasia plate. *Journal of Geophysical Research* 100(15): 205-219.
- Kuno (1968) Differentiation of basaltic magma. In: H. H., Hess and A., Poldervaart (Eds.): *Basalts*. 2: 623-688.
- Le Bas, M. J., Le Maitre, R. W., Streckeisen, A. and Zanettin, B. (1986) A chemical classification of volcanic rocks based on the total alkali-silica diagram. *Journal of Petrology* 27: 745-750.
- Leake, B. E., Wooley, A. R. and Arps, C. E. S. (1997) Nomenclature of amphiboles: report of the subcommittee on amphiboles of the International Mineralogical Association Commission on new minerals and mineral names. *Mineralogical Magazine* 61: 295-321.
- Leterrier, J., Maury, R. C., Thonon, P., Girard, D. and Marchal, M. (1982) Clinopyroxene composition as a method of identification of the magmatic affinities of paleo-volcanic series. *Earth Planetary Science Letter* 59: 139-154.
- McDonough, W. F. and Sun, S. S. (1995) The composition of the Earth. *Chemical Geology* 120: 223-253.
- McKenzie, D. and O'Nions, R. K. (1991) Partial melt distribution from inversion of rare earth element concentratons. *Journal of Petrology* 32: 1021-1091.
- Moritimo, N., Fabries, J., Ferguson, A. K., Ginzburg, I. V., Ross, M., Seifert, F. A., Zussman, J., Akoi, K. and Gottardi, G. (1988) Nomenclature of pyroxenes. *Mineralogical Magazine* 52: 535-550.
- Nazemzadeh, M., Roshanravan, J. and Azizan, H. (1996) Geological map of the Baghat, Scale 1/100,000. Geological Survey of Iran, Sheet No. 7147.
- Omraní, J., Agard, P., Whitechurch, H., Benoit, M., Prouteau, G. and Jolivet, L. (2008) Arc-magmatism and subduction history beneath Zagros: New report of adakites and geodynamic consequences. *Lithos* 106: 380-398.
- Pearce, J. A., Baker, P. E., Harvey, P. K. and Luff, I. A. (1995) Geochemical evidence for subduction fluxes, mantle melting and fractional crystallization beneath the South Sandwich Island Arc. *Journal of Petrology* 36: 1073-1109.
- Piercey, S. J., Murphy, D. C., Mortensen, J. K. and Creaser, R. A. (2004) Mid-Paleozoic initiation of the northern Cordilleran marginal backarc basin: Geologic, geochemical, and neodymium isotope evidence from the oldest mafic magmatic rocks in the Yukon-Tanana terrane, Finlayson Lake district, southeast Yukon, Canada.. *Geological Society of America Bulletin* 116(9/10): 1087-1106.
- Sabzehei, M. (1974), Les mélanges ophiolitiques de la région d'Sfandagheh (Iran méridional), Etude petrologique et Structurale, Interprétation dans le cadre Iranien. Ph. D. thesis, Universite de Grenoble, France.
- Saunders, A. and Tarney, J. (1991) Back-arc basins, In: P. A., Floyd (Ed.): *Oceanic basalts*. Blackie & Son Ltd. 219-263.
- Seiffory pour, S. (2002) Geological map of the Hadjiabad, Scale 1/100,000. Geological Survey of Iran, Sheet No. 7146.
- Sengor, A. M. C. (1979) Mid - Mesozoic closure of Permo - Triassic Tethys and its implications. *Nature* 279: 590-593.
- Stakes, D. S. and Franklin, J. M. (1994) Petrology of igneous rocks at Middle Valley, Juan de Fuca Ridge, In: M. J., Mottl, E. E., Davis and A. T., Fisher (Eds.): *Proceedings of the Ocean Drilling Program, Scientific Results*, College Station Texas.

- Stocklin, J. (1968) Structural history and tectonics of Iran: a review. American Association of Petroleum Geologists Bulletin 52(7): 1229-1258.
- Stocklin, J. (1974) Possible ancient continental margins in Iran. In: C. A., Burk and C. L., Drake (Eds.): The geology of continental margins. Springer, Berlin.
- Stocklin, J. (1977) Structural correlation of the Alpine range between Iran and Central Asia. Memoire Hors-Serve No.8 dela Societe Geologique de France 8: 333-353.
- Sun, S. S. and McDonough, W. F. (1989) Chemical and isotopic systematics of oceanic basalts: implications for mantle composition and processes. In: A. D., Saunders and M. J., Norry (Eds.): Magmatism in Ocean Basins. Geological Society Special Publication London 313-345.
- Taraz, H. (1974) Geology of the Surmaq-Deh Bid area, Abadeh region, Central Iran. Geological Survey of Iran.
- Van der Laan, S. R., Arculus, R. J., Pearce, J. A. and Murton, B. J. (1992) Petrography, mineral chemistry, and phase relations of the basement boninite series of site 786, Izu-Bonin forearc. In: P., Fryer, J. A. Pearce and L. B., Stokking (Eds.): Proceedings of the Ocean Drilling Program. Scientific Results, College Station, Texas.
- Wood, D. A. (1980) The application of a Th-Hf-Ta diagram to problems of tectonomagmatic classification and to establishing the nature of crustal contamination of basaltic lavas of the British Tertiary Volcanic Province. Earth and Planetary Science Letters 50: 11-30.

## Petrogenetic variations of the Jurassic magmatic sequences of Hoseinabad-Hajiabad regions in Sanandaj-Sirjan Zone (south of Iran)

Iman Monsef \*<sup>1</sup>, Mohammad Rahgoshay <sup>1</sup> and Hubert Whitechurch<sup>2</sup>

<sup>1</sup> Department of Geology, Faculty of Earth Science, Shahid Beheshti University, Tehran, Iran

<sup>2</sup> Institute of Geology, University of Louis Pasteur, Strasbourg, France

### Abstract

The Jurassic magmatic sequences in the southern part of Sanandaj-Sirjan Zone show significant geochemical variations during their compositional evolution. These magmatic sequences have exposed in the Hoseinabad region with Early to Middle Jurassic age and in Hajiabad region with Late Jurassic to Early Cretaceous age. The parent magma of the first sequence in Hoseinabad region, with island arc tholeiite (IAT) affinity have been originated from the spinel lherzolite mantle source with primitive mantle (PM) composition. This mantle source is affected by liquids and sediments resulted from the subducting slab. The parent magma of the second sequence in Hajiabad region with island arc tholeiite to transitional affinity have been resulted from the garnet - spinel lherzolite mantle source with E-MORB composition. These compositional changes may be related to high sediment and hydrothermal fluxes which resulted from the deep subducted slab into the mantle wedge. These magmatic sequences are originated during the subduction of the Neo-Tethyan oceanic lithosphere under the Sanandaj-Sirjan Zone, during the Early Jurassic to Early Cretaceous time, in the island arc tectonic environment.

**Key words:** Magmatic sequence, Island arc, Hajiabad-Hoseinabad, Sanandaj-Sirjan zone, Neo-Tethys

\* iman\_monsef@yahoo.com